



الجمهورية الجزائرية الديمقراطية الشعبية  
PEOPLE'S DEMOCRATIC REPUBLIC OF ALGERIA  
وزارة التعليم العالي و البحث العلمي  
MINISTRY OF HIGHER EDUCATION AND SCIENTIFIC RESEARCH  
جامعة عباس لغرور خنشلة  
ABBES LAGHROUR- KHENCHELA UNIVERSITY



Faculty of Sciences and Technology

Department of Mathematics and Computer Science

N° de série :.....

## Mémoire de fin d'études Pour l'obtention du diplôme de Master

Filière: **Mathématiques**  
Spécialité: **Mathématiques Appliquées**

Intitulé par :

### Comparaison des performances d'une nouvelle méthode de gradient conjugué

Réalisé par : **Boumaraf Meryem** Dirigé par : **M. Chergui Ahmed**

**Saadi Hafidha** Présenté le 13/09/2020

Membres de jury :

**Dr. R. Mechraoui** Président

**Dr. N. Hamdi** Examineur

2019-2020

# Table des matières

<b>1</b>	<b>optimisation sans contrainte</b>	<b>1</b>
1.1	<b>Rappel de quelques définitions</b> . . . . .	2
1.2	Conditions d'optimalité des problèmes de minimisation sans contraintes : . . . . .	6
1.2.1	Minima locaux et globaux . . . . .	6
1.3	Direction de descente . . . . .	8
1.3.1	<b>Schéma général des algorithmes d'optimisation sans contraintes</b> . . . . .	11
1.3.2	Conditions nécessaires d'optimalité . . . . .	12
1.3.3	Conditions suffisantes d'optimalité . . . . .	13
<b>2</b>	<b>Recherche linéaire exacte et inexacte</b>	<b>14</b>
2.1	<b>Recherche linéaire</b> . . . . .	14
2.1.1	<b>Introduction</b> . . . . .	14
2.1.2	<b>Objectifs de la recherche linéaire</b> . . . . .	15
2.1.3	<b>But de la recherche linéaire</b> . . . . .	15
2.1.4	<b>Intervalle de sécurité</b> . . . . .	16
2.1.5	<b>Algorithme de base</b> . . . . .	16
2.2	<b>Recherches linéaires "exactes"</b> . . . . .	17
2.3	<b>Recherches linéaires inexactes</b> . . . . .	17
2.3.1	<b>Caractérisation de l'intervalle de sécurité</b> . . . . .	18
2.4	<b>Convergence des méthodes à directions de descente</b> . . . . .	23
2.4.1	<b>Condition de Zoutendijk</b> . . . . .	23
<b>3</b>	<b>Méthode du gradient conjugué :</b>	<b>26</b>
3.1	Optimisation quadratique sans contrainte . . . . .	26
3.1.1	définition et théorème fondamentaux . . . . .	26
3.1.2	<b>Méthode des directions conjuguées</b> . . . . .	30
3.1.3	<b>Méthode du gradient conjugué</b> . . . . .	31

3.1.4	<b>Algorithme du gradient conjugué non quadratique</b>	35
4	<b>comparaison des performance d'une nouvelle méthode de gradient conjugué</b>	<b>37</b>
4.1	introduction	37
4.1.1	<b>La preuve de la condition suffisante de descente</b>	39
4.1.2	<b>propriétés convergentes</b>	40
4.2	<b>Résultats numériques et discussion</b>	42
4.2.1	Problème 3 :	42

## Remerciements

Je tiens à adresser mes remerciements les plus chaleureux et ma profonde gratitude à mon encadreur Monsieur Ahmed Chergui , professeur à l'Université Abbes Laghrour-khenchela, pour m'avoir proposer le sujet de ce mémoire. C'est grâce à sa grande disponibilité, ses conseils, ses orientations, et ses encouragements que j'ai pu mener à bien ce travail.

Mes remerciements vont également à Monsieur R\_Machraoui professeur à l'Université Abbes Laghrour-khenchela, pour avoir bien voulu me faire l'honneur d'accepter de présider le jury.

De même je remercie madame N\_Hamdi ,maître de conférence classe A, à l'Université Abbes Laghrour-khenchela .

Je remercie également tout ceux qui ont contribué de près ou de loin à l'élaboration de ce mémoire, en particulier, mon père pour ses encouragements.

Enfin, Merci à toute ma famille, en particulier, ma mère, mon père, mes frères , et à tous mes amis et tous mes collègues sans exception.

ملخص

في هذا العمل ندرس طريقة جديدة معدلة لطريقة التدرج المترافق غير الخطية لحل مسائل الاستمثال غير المقيد وهذه الطريقة تحقق شرط النزول والتقارب الكلي باستعمال البحث الخطي غير الدقيق وبعد اجراء التجارب العددية اعطت نتائج جيدة عند مقارنتها ببعض الطرق التقليدية

الكلمات المفتاحية

التدرج المترافق التقارب الكلي البحث الخطي غير الدقيق

## Résumé

Dans ce mémoire, nous étudions une nouvelle méthode modifiée du gradient conjugué non linéaire pour résoudre les problèmes d'optimisation sans contraintes. Cette méthode est proposée pour garantir la convergence globale avec la condition suffisante de descente sous la recherche linéaire inexacte, cette nouvelle formule donne d'excellents résultats numériques en les comparant à certaines méthodes traditionnelles .

**Mots clés :**

Gradient conjugué, Convergence globale, Recherche linéaire inexacte , condition suffisante de descente

## Abstract

In this paper, we study a new modified nonlinear conjugate gradient Method for solving largescale Unconstrained problems. This method is proposed to guarantee the global convergence with the sufficient descent condition under the inexact linear search this new formula gives excellent numerical result by comparing them to some traditional methods

**Mots clés :**

Conjugate gradient, Global convergence , inexact linear search, sufficient descent.condition

# Introduction

## Problématique :

Cadre Un problème d'optimisation consiste, étant donnée une fonction  $f : S \rightarrow R$ , à trouver :

- 1) son minimum  $v$  (resp. son maximum) dans  $S$
- 2) un point  $x_0 \in S$  qui réalise ce minimum (resp. maximum) i.e.  $f(x_0) = v$ .

## Vocabulaire :

- $f$  est la fonction objectif
- $v$  est la valeur optimale
- $x_0$  est la solution optimale
- écriture du problème :  $\min_{x \in S} f(x)$  resp.  $\max_{x \in S} f(x)$

**Remarque 1)** L'optimisation est une branche des mathématiques. Dans la pratique, on part d'un problème concret, on le modélise et on le résoud mathématiquement (analytiquement : problème d'optimisation, numériquement : programme mathématique).

**2)** Lien minimum/maximum : soit  $f$  une fonction dont on veut trouver le maximum. Le problème  $\max_{x \in S} f(x)$  renvoie  $(x_0, v)$  alors que le problème  $\min_{x \in S} f(x)$  renvoie  $(x_0, -v)$ . D'où ce lien. Ainsi la recherche d'un maximum peut toujours se ramener à la recherche d'un minimum.

## Applications

L'optimisation intervient dans de nombreux domaines :

- en recherche opérationnelle (problème de transport, économie, gestion de stocks...)
- en analyse numérique (approximation/résolution de systèmes linéaires, non linéaires...)
- en automatique (modélisation de systèmes, filtrage...)
- en ingénierie (dimensionnement de structures, conception optimale de systèmes (réseaux, ordinateurs...))

On s'intéresse dans ce mémoire au problème  $(P)$  suivant :

Soit  $f : \mathbb{R}^n \rightarrow \mathbb{R}$ . On cherche à résoudre le problème de minimisation sans contraintes suivant :

$$(P) : \min \{f(x) : x \in \mathbb{R}^n\} \quad (0.1)$$

Parmi les plus anciennes méthodes utilisées pour résoudre les problèmes du type  $(P)$ , on peut citer la méthode du Gradient conjugué. Cette méthode est surtout utilisée pour les problèmes de grande taille. Cette méthode a été découverte en 1952 par Hestenes et Steifel, pour la minimisation de fonctions quadratiques strictement convexes. Plusieurs mathématiciens ont étendu

cette méthode pour le cas non linéaire. Ceci a été réalisé pour la première fois, en 1964 par Fletcher et Reevese (*méthode de Fletcher-Reeves*) puis en 1969 par Polak, Ribière et Ployak (*méthode de Polak-Ribière-Ployak*). Une autre variante a été étudiée en 1987 par Fletcher (*Méthode de la descente conjuguée*). Une nouvelle variante a été proposée en 1991 par Liu et Storey (*Méthode de Liu et Storey*). Et enfin une dernière variante qui a été étudiée en 1999 par Dai et Yuan (*Méthode de Dai et Yuan*) Toutes ces méthodes génèrent une suite  $\{x_k\}_{k \in \mathbb{N}}$  de la façon suivante :

$$x_{k+1} = x_k + \alpha_k d_k \quad (0.2)$$

Le pas  $\alpha_k \in \mathbb{R}$  est déterminé par une optimisation unidimensionnelle ou recherche linéaire exacte ou inexacte.

Les directions  $d_k$  sont calculées de façon récurrente par les formules suivantes :

$$d_k = \begin{cases} -g_1 & \text{si } k = 1 \\ -g_k + \beta_k d_{k-1} & \text{si } k \geq 2 \end{cases} \quad (0.3)$$

$g_k = \nabla f(x_k)$  et  $\beta_k \in \mathbb{R}$ .

Les différentes valeurs attribuées à  $\beta_k$  définissent les différentes formes du gradient conjugué.

$$\beta_k^{HS} = \frac{g_k^T (g_k - g_{k-1})}{d_{k-1}^T (g_k - g_{k-1})}, \quad \text{Hestenes-Stiefel [1] , 1952.} \quad (0.4)$$

$$\beta_k^{FR} = \frac{g_k^T g_k}{g_{k-1}^T g_{k-1}}, \quad \text{Fletcher Reeves [2] , 1964} \quad (0.5)$$

$$\beta_k^{PRP} = \frac{g_k^T (g_k - g_{k-1})}{\|g_{k-1}\|^2} \quad \text{Polak-Ribière-Polyak [3 , 4] , 1969} \quad (0.6)$$

$$\beta_k^{CD} = -\frac{g_k^T g_k}{d_{k-1}^T g_{k-1}}, \quad \text{descente conjugué. [5] , 1987.} \quad (0.7)$$

$$\beta_k^{LS} = -\frac{g_k^T (g_k - g_{k-1})}{d_{k-1}^T g_{k-1}}, \quad \text{Liu-Storey [6] , 1991} \quad (0.8)$$

$$\beta_k^{DY} = \frac{g_k^T g_k}{(g_k - g_{k-1})^T d_{k-1}}, \quad \text{Dai-Yuan [7] , 1999} \quad (0.9)$$

Dans ce travail, on s'intéresse à la méthode de  $GC$  de  $wyl$  qui a été proposée par  $wyl$  en 2006.

$$B_k^{wyl} = \frac{g_k^T \left( g_k - \frac{\|g_k\|}{\|g_{k-1}\|} g_{k-1} \right)}{g_{k-1}^T g_{k-1}} \quad [ 8 ] \quad (0.10)$$

Le but de ce mémoire est la Recherche linéaire non monotone est proposé pour garantir la convergence globale de la méthode du gradient conjugué sous la condition suffisante de descente de la méthode W Y L gradient conjugué sous la forte Wolfe de recherche linéaire

Ce mémoire comporte quatre chapitres.

### Chapitre 1

On introduit dans ce chapitre les notions préliminaires de base concernant l'optimisation sans contraintes. et quelques notions sur les problèmes de minimisation sans contraintes et leurs algorithmes

### Chapitre 2

On expose dans ce chapitre les grandes lignes des méthodes d'optimisation sans contraintes basées sur les directions de descente et les recherches linéaires. Ces méthodes génèrent des suites  $\{x_k\}_{k \in \mathbb{N}}$  de la façon suivante :

$$x_{k+1} = x_k + \alpha_k d_k$$

On suppose connaître la direction de descente  $d_k$  au point  $x_k$ . La recherche linéaire consiste à trouver  $\alpha_k$  de façon à diminuer la fonction  $f$  *suffisamment* le long de cette direction

.

### Chapitre 3

Dans ce chapitre on étudie la méthode de gradient conjugué . cas des fonctions quadratiques strictement convexes. Et le cas des fonctions non quadratiques

### Chapitre 4

Ce chapitre est la partie la plus importante de ce travail, car il contient La méthode de gradient conjugué de wei-yao-liu(**wyl**) sous la recherche linéaire inexacte de wolfe-powell fort et la comparaison des performances de cette méthode avec certaines méthodes traditionnelles .



# Chapitre 1

## optimisation sans contrainte

Nous allons exposer dans ce premier chapitre quelques concepts clés concernant l'optimisation l'effort définitionnel portera surtout sur la méthode du gradient conjugué, où les questions suivantes seront prises en considération les problèmes proposés comportent-ils des contraintes ?

- les fonctions en jeu sont-elles quadratiques ? sont-elles convexes ?
- les domaines de définition des fonctions sont-ils continus ou discrets ?

Chaque problème possède sa structure spécifique et demande donc d'être traité de manière particulière. Le présent projet ne se focalisera que sur les problèmes d'optimisation sans contraintes et non linéaires. Ce problème sera formulé comme suit :

$$(P) \quad \min f(x) \quad x \in \mathbb{R}^n \quad (1.1)$$

$$\text{où } f : \mathbb{R}^n \longrightarrow \mathbb{R}$$

La majorité des méthodes de résolution d'optimisation qu'on étudie par la suite sont de nature itérative, c'est à dire qu'à partir d'un point initial  $x_1$ , elles engendrent une suite infinie  $x_1, x_2, \dots, x_k, \dots$  dont on espère qu'elle converge vers la solution optimale.

Pour construire des algorithmes de minimisation sans contraintes on fait appel à des processus itératifs du type :

$$x_{k+1} = x_k + \alpha_k d_k, \quad (1.2)$$

où  $d_k$  détermine la direction de déplacement à partir du point  $x_k$  et  $\alpha_k$  est solution optimale du problème d'optimisation unidimensionnel suivant :

$$\min_{\alpha > 0} f(x_k + \alpha d_k),$$

c'est à dire que  $\alpha_k$  vérifié :

$$f(x_k + \alpha_k d_k) \leq f(x_k + \alpha d_k), \forall \alpha > 0 \quad (1.3)$$

Le type d'algorithme permettant de résoudre le problème (1.1) sera déterminé dès qu'on définit les procédés de construction du imisation vecteur  $d_k$  et de calcul de  $\alpha_k$  à chaque itération. La façon avec laquelle on construit les vecteurs  $d_k$  et les scalaires  $\alpha_k$  détermine directement les propriétés du processus et spécialement en ce qui concerne la convergence de la suite  $\{x_k\}$ , la vitesse de la convergence. Pour s'approcher de la solution optimale du problème (1.1) (dans le cas général, c'est un point en lequel ont lieu peut être avec une certaine précision les conditions nécessaires d'optimalité de  $f$ )

on se déplace naturellement à partir du point  $x_k$  dans la direction de la décroissance de la fonction  $f$ .

## 1.1 Rappel de quelques définitions

Nous introduisons ici les principales définitions de base qui seront utilisées par la suite.

### Définition 1.1 (*Convergence des algorithmes*)

*Un algorithme de résolution est un procédé qui permet, à partir de la donnée du point initial  $x_1$ , d'engendrer la suite  $x_1, x_2, \dots, x_k, \dots$ . Un algorithme est parfaitement défini par la donnée de l'application  $A$  qui associe à  $x_k$  le point  $x_{k+1} \in A(x_k)$ . Ceci permettra de confondre un algorithme et l'application  $A$  qui lui est associée.*

### Définition 1.2 (*Convergence globale*)

*Nous dirons qu'un algorithme décrit par une application multivoque  $A$  est globalement convergent (ou encore : possède la propriété de convergence globale) si, quelque soit le point de départ  $x_1$  choisi, la suite  $\{x_k\}$  engendrée par  $x_{k+1} \in A(x_k)$  (ou une sous suite) converge vers un point satisfaisant les conditions nécessaires d'optimalité (ou solution optimale).*

### Définition 1.3 (*Modes de convergence*)

*Soit  $\{x_k\}_{k \in \mathbb{N}}$  une suite dans  $\mathbb{R}^n$  convergeant vers  $x^*$ .*

◆ *Si*

$$\limsup \frac{\|x_{k+1} - x^*\|}{\|x_k - x^*\|} = \tau < 1,$$

On dit que  $\{x_k\}_{k \in \mathbb{N}}$  converge vers  $x^*$  linéairement avec le taux  $\tau$ .

◆ Si

$$\frac{\|x_{k+1} - x^*\|}{\|x_k - x^*\|} \longrightarrow 0 \text{ quand } k \longrightarrow \infty,$$

on dit que la convergence est superlinéaire.

Plus précisément si  $\exists p > 1$  tel que :

$$\limsup_{k \rightarrow \infty} \frac{\|x_{k+1} - x^*\|}{\|x_k - x^*\|^p} < +\infty,$$

on dit que la convergence est superlinéaire d'ordre  $p$ .

En particulier si

$$\limsup_{k \rightarrow \infty} \frac{\|x^{k+1} - x^*\|}{\|x^k - x^*\|^2} < +\infty,$$

on dit que la convergence est quadratique (super linéaire d'ordre 2)

**Définition 1.4** (Ensemble convexe).

Soit l'ensemble  $C \subseteq \mathbb{R}^n$ .  $C$  est convexe si seulement si  $\forall x, y \in C, \forall t \in [0, 1], tx + (1 - t)y \in C$

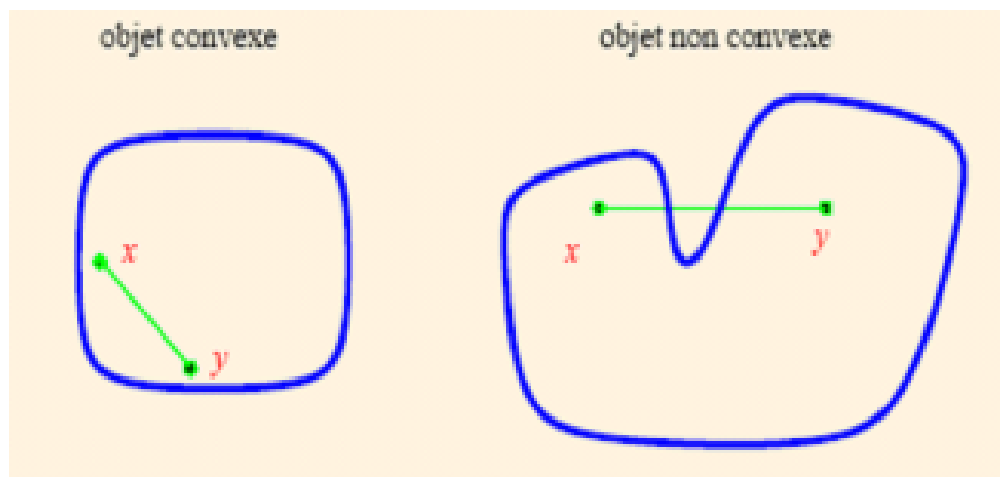


FIG. 1.1 – Objet convexe et non convexe

Objet convexe et non convexe

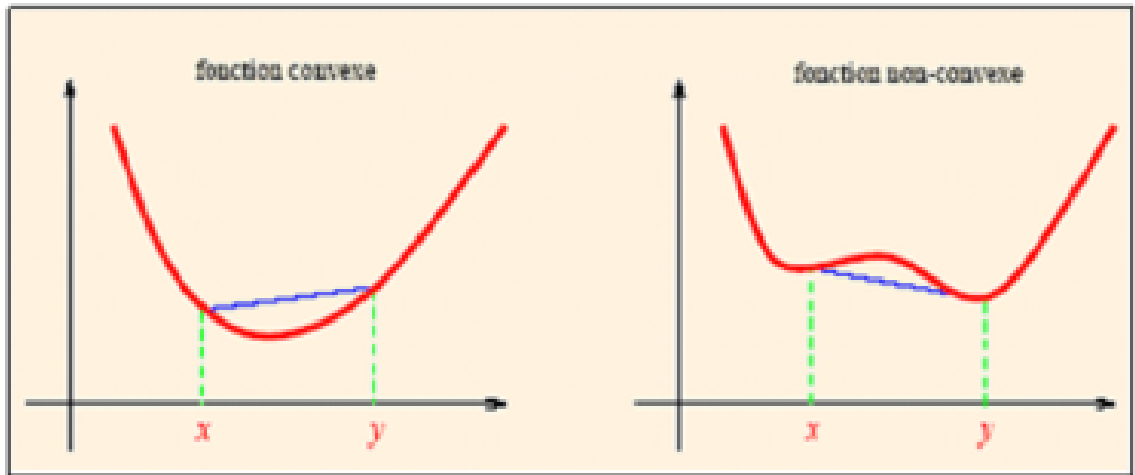


FIG. 1.2 – Fonction convexe et non convexe

### Fonction convexe

**Définition 1.5** Soit  $C \subseteq \mathbb{R}^n$  un ensemble convexe non vide. Une fonction  $f : C \rightarrow \mathbb{R}$  est convexe si seulement si

$$\forall x, y \in C^2, \forall \lambda \in [0, 1], f(\lambda x + (1 - \lambda)y) \leq \lambda f(x) + (1 - \lambda)f(y)$$

Une fonction  $f$  est concave si  $-f$  est convexe. On dira que  $f$  est strictement convexe dans  $C$  si seulement si

$$\forall x, y \in C^2, x \neq y, \forall \lambda \in [0, 1], f(\lambda x + (1 - \lambda)y) < \lambda f(x) + (1 - \lambda)f(y)$$

$$f(x) = x^2$$

$$f'(x) = 2x$$

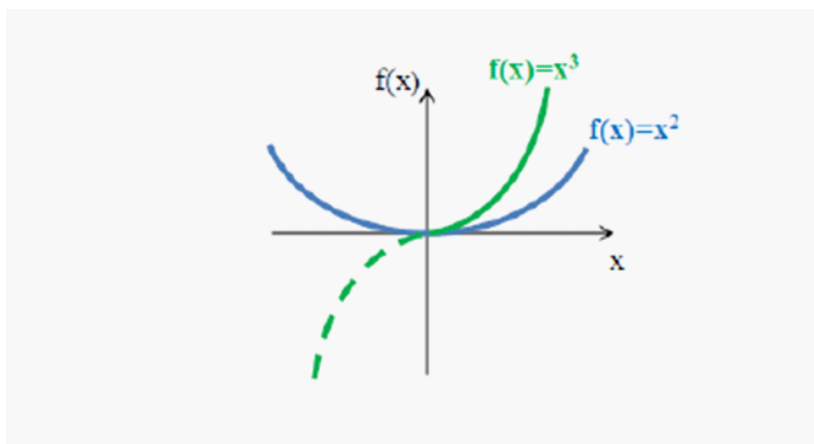
$$f''(x) = 2 \rightarrow f \text{ convexe sur } \mathbb{R}$$

$$f(x) = x^3$$

$$f'(x) = 3x^2$$

$$f''(x) = 6x \rightarrow f \text{ convexe sur } \mathbb{R}^+$$

$$\rightarrow f \text{ non convexe sur } \mathbb{R}$$



**Définition 1.6 (Fonction convexe deux fois différentiable).**

Soit  $C \subseteq \mathbb{R}^n$  non vide et  $f : \mathbb{R}^n \rightarrow \mathbb{R}$  est dite deux fois différentiable au point  $x^* \in \text{int}(C)$  s'il existe un vecteur  $\nabla f(x^*)$  et une matrice symétrique  $H(x^*)$  d'ordre  $(n, n)$  appelée matrice hessienne, et une fonction  $\alpha : \mathbb{R}^n \rightarrow \mathbb{R}$  telles que

$$\forall x \in C : f(x) = f(x^*) + \nabla f(x^*)^T (x - x^*) + \frac{1}{2} (x - x^*)^T H(x^*) (x - x^*) + \|x - x^*\|^2 \zeta(x^*, x - x^*) \quad (1.4)$$

ou  $\zeta(x^*, x - x^*) \xrightarrow{x \rightarrow x^*} 0$ . On peut écrire la matrice hessienne  $H(x^*)$  comme suit :

$$H(x^*) = \begin{bmatrix} \frac{\partial^2 f(x^*)}{\partial x_1 \partial x_1} & \frac{\partial^2 f(x^*)}{\partial x_1 \partial x_2} & \dots & \frac{\partial^2 f(x^*)}{\partial x_1 \partial x_n} \\ \frac{\partial^2 f(x^*)}{\partial x_2 \partial x_1} & \frac{\partial^2 f(x^*)}{\partial x_2 \partial x_2} & \dots & \frac{\partial^2 f(x^*)}{\partial x_2 \partial x_n} \\ \vdots & \vdots & \ddots & \vdots \\ \frac{\partial^2 f(x^*)}{\partial x_n \partial x_1} & \frac{\partial^2 f(x^*)}{\partial x_n \partial x_2} & \dots & \frac{\partial^2 f(x^*)}{\partial x_n \partial x_n} \end{bmatrix}$$

◆ La matrice  $H(x^*)$  est dite semi-définie positive si

$$\forall x \in \mathbb{R}^n : x^T H(x^*) x \geq 0$$

◆ La matrice  $H(x^*)$  est dite définie positive si

$$\forall x \in \mathbb{R}^n, x \neq 0 : x^T H(x^*) x > 0$$

**Théorème 1.1** *soit  $H(x^*)$  la matrice hessienne, on note par  $\{\sigma_i\}_{i=1\dots n}$  ses valeurs propres ( réelles ) on a les équivalences suivantes :*

$$\begin{aligned} \blacklozenge \quad & H(x^*) \geq 0 \iff \sigma_i \geq 0 \\ \blacklozenge \quad & H(x^*) > 0 \iff \sigma_i > 0 \end{aligned}$$

## 1.2 Conditions d'optimalité des problèmes de minimisation sans contraintes :

Considérons le problème d'optimisation sans contraintes (P)

$$(P) \quad \min_{x \in \mathbb{R}^n} f(x)$$

où  $f : \mathbb{R}^n \rightarrow \mathbb{R}$

### 1.2.1 Minima locaux et globaux

**Définition 1.7** 1)  $x^* \in \mathbb{R}^n$  est un minimum local de (P) si et seulement si il existe un voisinage  $V_\varepsilon(x^*)$  tel que

$$f(x^*) \leq f(x) : \forall x \in V_\varepsilon(x^*) \tag{1.5}$$

2)  $x^* \in \mathbb{R}^n$  est un minimum local strict de (P) si et seulement si il existe un voisinage  $V_\varepsilon(x^*)$  tel que

$$f(x^*) < f(x) : \forall x \in V_\varepsilon(x^*), x \neq x^* \tag{1.6}$$

3)  $x^* \in \mathbb{R}^n$  est un minimum global de (P) si et seulement si

$$f(x^*) \leq f(x) : \forall x \in \mathbb{R}^n \tag{1.7}$$

**Remarque 1.1** *Dans le cas d'une fonction objectif convexe, il n'y a pas de distinction entre minimum local et global : tout minimum local est également global, comme l'établit le théorème suivant.*

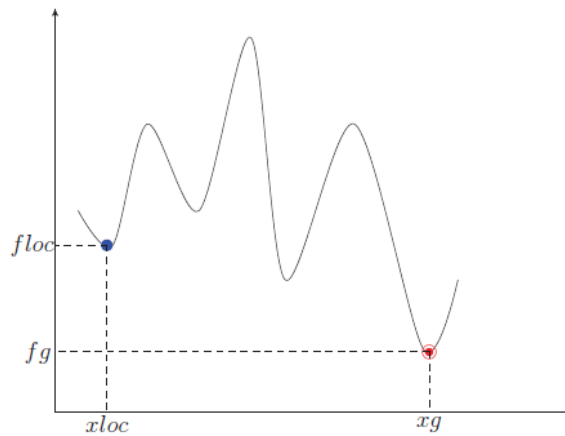
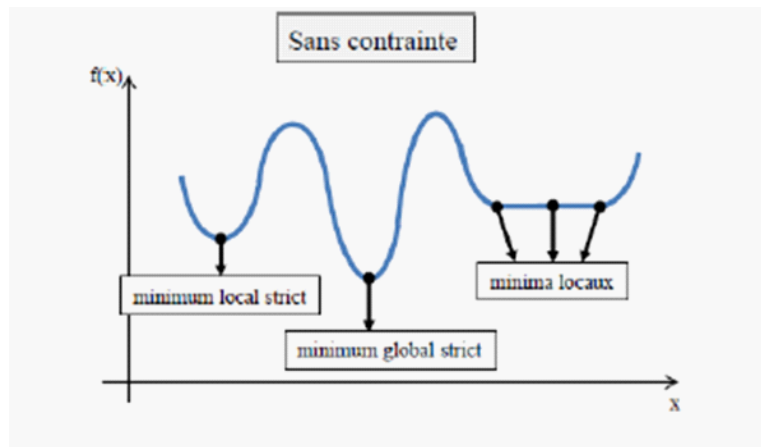


FIG. 1.1 – Optimum global et optimum local

**Théorème 1.2** . Soit  $f : \mathbb{R}^n \rightarrow \mathbb{R}$  une fonction convexe définie sur l'ensemble convexe  $X$ . Alors, tout minimum local de  $f$  est également un minimum global. Si  $f$  est strictement convexe, alors il existe au plus un minimum global de  $f$

### 1.3 Direction de descente

**Principes généraux :** Considérons le problème d'optimisation sans contraintes

$$(P) : (P) \min_{x \in \mathbb{R}^n} f(x),$$

ou  $f : \mathbb{R}^n \rightarrow \mathbb{R}$  est supposé régulière.

On note aussi  $\nabla f(x)$  et  $\nabla^2 f(x)$  le gradient et le hessien de  $f$  en  $x$  pour le produit scalaire euclidien sur  $\mathbb{R}^n$ .

On s'intéresse ici à une classe d'algorithmes qui sont fondés sur la notion de direction de descente.

**Définition 1.8** Soit  $d$  un vecteur non nul de  $\mathbb{R}^n$ . On dit que  $d$  est une direction de descente de  $f$  en  $x \in \mathbb{R}^n$  si

$$\nabla f(x)^T d < 0. \quad (1.9)$$

Ou encore que  $d$  fait avec l'opposé du gradient  $-\nabla f(x)$  un angle  $\theta$  strictement plus petit que  $90^\circ$  :

$$\theta = \arccos \frac{-\nabla f(x)^T \cdot d}{\|\nabla f(x)\| \|d\|} \in \left[0, \frac{\pi}{2} \right[. \quad (1.10)$$

L'ensemble des directions de descente de  $f$  en  $x$  est le demi espace suivant  $\{d \in \mathbb{R}^n : \nabla f(x)^T \cdot d < 0\}$



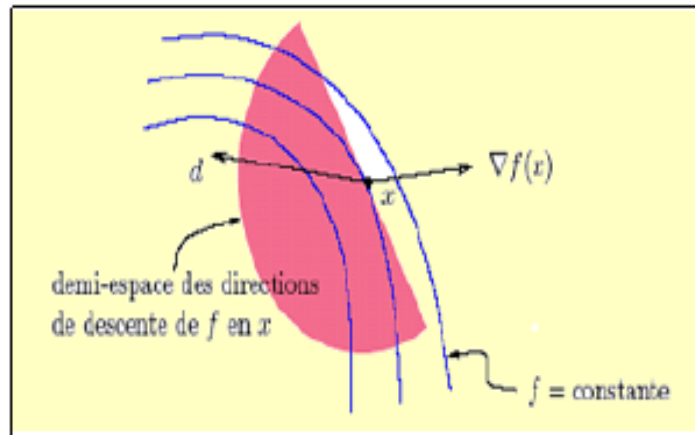


FIG. 1.3 – Demi-espace des directions de descente  $d$  de  $f$  en  $x$ .

On voit que si  $d$  est une direction de descente,  $f(x + \alpha d) < f(x)$ , pour tout  $\alpha > 0$  suffisamment petit, et donc que  $f$  décroît strictement dans la direction  $d$ . De telles directions sont intéressantes en optimisation car, pour faire décroître  $f$ , il suffit de faire un déplacement le long de  $d$ . Les méthodes à directions de descentes utilisent cette idée pour minimiser une fonction. Elles construisent la suite des itérés  $\{x_k\}_{k \geq 1}$ , approchant une solution  $x_k$  du problème (1.1) par la récurrence :

$$x_{k+1} = x_k + \alpha_k d_k, \text{ pour } k \geq 1$$

Où  $\alpha_k$  est appelé le pas et  $d_k$  la direction de descente de  $f$  en  $x_k$ . Pour définir une direction de descente il faut donc spécifier deux choses :

◆ dire comment la direction  $d_k$  est calculée, la manière de procéder donne le nom à l'algorithme ;

◆ dire comment on détermine le pas  $\alpha_k$ , c'est ce que l'on appelle la recherche linéaire.

**Remarque 1.2** Par la suite l'angle  $\theta_k$  entre la direction  $d_k$  et  $-g_k$  jouera un rôle important dans le processus de la convergence. Pour  $\theta_k$  on a la relation classique suivante :  $-g_k^T d_k = \|g_k\| \|d_k\| \cos \theta_k$

**Définition 1.9** Soit  $f : x \subseteq \mathbb{R}^n \rightarrow \mathbb{R}, x^* \in \mathbb{R}^n, d \in \mathbb{R}^n$  est une direction de descente au point  $x^*$  si et seulement si il existe  $\delta > 0$  tel que

$$f(x^* + \alpha d) < f(x^*) : \quad \forall \alpha \in ]0, \delta[, \quad (1.11)$$

donnons maintenant une condition suffisante pour que soit  $d$  une direction de descente.

**Théorème 1.3** Soit  $f : \mathbb{R}^n \rightarrow \mathbb{R}$  différentiable au point  $x^* \in \mathbb{R}^n$  et  $d \in \mathbb{R}^n$  une direction vérifiant la condition suivante :

$$f'(x^*, d) = \nabla f(x^*)^T \cdot d < 0.$$

Alors  $d$  est une direction de descente au point  $x^*$ .

**Proof.**  $f$  est différentiable au point  $x^*$ . Donc

$$f(x^* + \alpha d) = f(x^*) + \alpha \nabla f(x^*)^T \cdot d + \alpha \|d\| \zeta(x^*, d),$$

avec  $\zeta(x^*, d) \xrightarrow{\alpha \rightarrow 0} 0$  ceci implique que

$$f'(x^*, d) = \lim_{\alpha \rightarrow 0} \frac{f(x^* + \alpha d) - f(x^*)}{\alpha} = \nabla f(x^*)^T \cdot d < 0. \quad (1.12)$$

La limite étant strictement négative, alors il existe un voisinage de zéro  $V(0)$  tel que

$$\frac{f(x^* + \alpha d) - f(x^*)}{\alpha} < 0, \quad \forall \alpha \in V(0). \quad (1.13)$$

La relation (1.11) est particulièrement vraie pour tout  $\alpha \in ]-\delta, +\delta[$ . On obtient le résultat cherché en multipliant la relation (1.11) par  $\alpha > 0$  ■

**Algorithme (méthode à directions de descente- une itération)**

**Etape 0 :(initialisation)**

On suppose qu'au début de l'itération  $k$ , on dispose d'un itéré  $x_k \in \mathbb{R}^n$

**Etape1 :**

Test d'arrêt : si  $\|\nabla f(x_k)\| \simeq 0$ , arrêt de l'algorithme ;

**Etape2 :**

Choix d'une direction de descente  $d_k \in \mathbb{R}^n$ ;

**Etape3 :**

Recherche linéaire : déterminer un pas  $\alpha_k > 0$  le long de  $d_k$  de manière à "faire décroître  $f$  suffisamment" ;

**Etape4 :**

Si la recherche linéaire réussie  $x_{k+1} = x_k + \alpha_k d_k$ ;  
remplacer  $k$  par  $k + 1$  et aller à l'étape 1.

**1.3.1 Schéma général des algorithmes d'optimisation sans contraintes**

Schéma général des algorithmes d'optimisation sans contraintes

Supposons que  $d_k$  soit une direction de descente au point  $x_k$ . Ceci nous permet de considérer le point  $x_{k+1}$ , successeur de  $x_k$ , de la manière suivante :

$$x_{k+1} = x_k + \alpha_k d_k, \quad \alpha_k \in ]0, +\delta[$$

Vu la définition de direction de descente, on est assuré que

$$f(x_{k+1}) = f(x_k + \alpha_k d_k) < f(x_k).$$

Un bon choix de  $d_k$  et  $\alpha_k$  permet ainsi de construire une multitude d'algorithme d'optimisation.

**Exemple de choix de direction de descente :**

Par exemple si on choisit  $d_k = -\nabla f(x_k)$  et si  $\nabla f(x_k) \neq 0$ , on obtient la méthode du gradient. Dans le cas  $d_k = -(H(x_k))^{-1} \cdot \nabla f(x_k)$ , on obtient La méthode de Newton, où la matrice hessienne  $H(x_k)$  est définie positive.

**Exemple de choix de pas  $\alpha_k$  :**

On choisit en général  $\alpha_k$  de façon optimale, c'est à dire que  $\alpha_k$  doit vérifier

$$f(x_k + \alpha_k d_k) \leq f(x_k + \alpha d_k) : \forall \alpha \in [0, +\infty[.$$

En d'autres temps on est ramené à étudier à chaque itération un problème de minimisation d'une variable réelle. C'est ce qu'on appelle recherche linéaire

### 1.3.2 Conditions nécessaires d'optimalité

Etant donné un vecteur  $x^*$ , nous souhaiterions être capables de déterminer si ce vecteur est un minimum local ou global de  $(P)$ . La propriété de différentiabilité de  $f$  fournit une première manière de caractériser une solution optimale. Enonçons tout d'abord un théorème, pour établir une première condition nécessaire d'optimalité.

#### Condition nécessaire d'optimalité du premier ordre

**Théorème 1.4** *Soit  $f : \mathbb{R}^n \rightarrow \mathbb{R}$  différentiable au point  $x^* \in \mathbb{R}^n$ . Si  $x^*$  est un minimum local de  $(P)$ , alors  $\nabla f(x^*) = 0$ .*

**Proof.** C'est une conséquence directe du théorème (1.2). En effet, supposons que  $\nabla f(x^*) \neq 0$ . Puisque la direction  $d = -\nabla f(x^*)$  est une direction de descente, alors il existe  $\delta > 0$  tel que :

$$f(x^* + \alpha d) < f(x^*) : \quad \forall \alpha \in ]0, \delta[.$$

Ceci est contradiction avec le fait que  $x^*$  est une solution optimale locale de  $(P)$ . ■

**Remarque 1.3** *si  $f$  est convexe, la condition nécessaire du premier ordre est également suffisante pour que  $x^*$  soit un minimum global. Dans le cas où  $f$  est deux fois différentiable, une autre condition nécessaire est donnée par le théorème (1.5). Elle est appelée condition nécessaire du second ordre car elle fait intervenir la matrice hessienne de  $f$  (que nous noterons  $\nabla^2 f(x)$ , dont les éléments sont ses secondes dérivées partielles).*

#### Conditions nécessaires d'optimalité du second ordre

**Théorème 1.5** *Soit  $f : \mathbb{R}^n \rightarrow \mathbb{R}$  deux fois différentiable au point  $x^* \in \mathbb{R}^n$ . Si  $x^*$  est un minimum local de  $(P)$ , alors  $\nabla f(x^*) = 0$  et  $H(x^*)$  est semi définie positive.*

**Proof.** Soit  $x \in \mathbb{R}^n$  quelconque, étant  $f$  deux fois différentiable au point  $x^*$ , on aura pour tout  $\alpha \neq 0$

$$f(x^* + \alpha x) = f(x^*) + \frac{1}{2} \alpha^2 x^T H(x^*) x + \alpha^2 \|x\|^2 \zeta(x^*, \alpha x), \quad \zeta(x^*, \alpha x) \xrightarrow{\alpha \rightarrow 0} 0.$$

Ceci implique

$$\frac{f(x^* + \alpha x) - f(x^*)}{\alpha^2} = \frac{1}{2}x^T H(x^*)x + \|x\|^2 \zeta(x^*, \alpha x). \quad (1.14)$$

$x^*$  est un optimum local, il existe alors  $\delta > 0$  tel que

$$\frac{f(x^* + \alpha x) - f(x^*)}{\alpha^2} \geq 0, \quad \forall \alpha \in ]-\delta, +\delta[.$$

Si on prend en considération (1.12) et on passe à la limite quand  $\alpha \rightarrow 0$ ,  $\alpha \neq 0$ , on obtient :

$$x^T H(x^*)x \geq 0, \quad \forall x \in \mathbb{R}^n.$$

■

### 1.3.3 Conditions suffisantes d'optimalité

Les conditions données précédemment sont nécessaires (si  $f$  n'est pas convexe), c'est-à-dire qu'elles doivent être satisfaites pour tout minimum local ; cependant, tout vecteur vérifiant ces conditions n'est pas nécessairement un minimum local. Le théorème (1.5) établit une condition suffisante pour qu'un vecteur soit un minimum local, si  $f$  est deux fois différentiable.

#### Condition suffisante d'optimalité du second ordre

**Théorème 1.6** *Soient  $f : \mathbb{R}^n \rightarrow \mathbb{R}$  deux fois différentiable au point  $x^* \in \mathbb{R}^n$ . Si  $\nabla f(x^*) = 0$  et  $H(x^*)$  est définie positive, alors  $x^*$  est un minimum local strict de  $(P)$ .*

**Remarque 1.4** *La matrice  $H$  est définie positive ssi toutes ses valeurs propres sont positives*

## Chapitre 2

# Recherche linéaire exacte et inexacte

### 2.1 Recherche linéaire

#### 2.1.1 Introduction

Considérons le problème d'optimisation sans contraintes  $P$ .

$$(P) : \min_{x \in \mathbb{R}^n} f(x), \quad (2.1)$$

où  $f : \mathbb{R}^n \rightarrow \mathbb{R}$ .

Les algorithmes qu'on étudie par la suite suivent les schémas généraux suivants.

$$x_{k+1} = x_k + \alpha_k d_k \quad (2.2)$$

où  $\alpha_k$  est solution optimale du problème d'optimisation unidimensionnel suivant :

$$\min_{\alpha > 0} f(x_k + \alpha d_k),$$

c'est à dire que  $\alpha_k$  vérifie

$$f(x_k + \alpha_k d_k) \leq f(x_k + \alpha d_k), \forall \alpha > 0,$$

$x_k, d_k$  sont fixes et la fonction à minimiser est une fonction d'une variable réelle définie comme suit :

$$\alpha \rightarrow \varphi(\alpha) = f(x_k + \alpha d_k). \quad (2.3)$$

Il faut noter que dans le problème d'optimisation sans contraintes on a besoin de résoudre à chaque itération  $x_k$ , un problème d'optimisation dans  $\mathbb{R}$

Dans ce chapitre nous allons décrire les différentes manières de déterminer un pas  $\alpha_k > 0$  le long d'une direction de descente  $d_k$ . C'est ce que l'on appelle faire de la recherche linéaire.

Il existe deux grandes classes de méthodes qui s'intéressent à l'optimisation unidimensionnelle :

- ▶ les recherches linéaires exactes.
- ▶ les recherches linéaires inexactes.

### 2.1.2 Objectifs de la recherche linéaire

Il s'agit de réaliser deux objectifs :

Le premier objectif, faire décroître  $f$  suffisamment, et pour cela on cherche à vérifier l'inégalité :

$$f(x_k + \alpha_k d_k) \leq f(x_k) + \text{“un terme négatif”} \quad (2.4)$$

Le terme négatif joue un rôle-clé dans la convergence de l'algorithme.

Le second objectif, on choisit le pas  $\alpha_k > 0$  d'être trop petit, pour assurer la convergence d'algorithme au point stationnaire .

Le premier objectif n'est en effet pas suffisant car l'inégalité (2.4) est en général satisfaite par des pas  $\alpha_k > 0$  arbitrairement petit. Or ceci peut entraîner une “fausse convergence”, c'est-à-dire la convergence des itérés vers un point non stationnaire,

### 2.1.3 But de la recherche linéaire

Dans le cas non-quadratique les méthodes de descente (2.2), nécessitent la recherche d'une valeur de  $\alpha_k > 0$  optimale ou non, vérifiant :

$$f(x_k + \alpha_k d_k) \leq f(x_k). \quad (2.5)$$

Rappelons que si  $f$  est différentiable, le pas optimal  $\alpha^*$  peut être caractérisé par

$$\varphi'(\alpha^*) = 0,$$

$$\varphi(\alpha^*) \leq \varphi(\alpha), \text{ pour } 0 < \alpha \leq \alpha^*,$$

autrement dit,  $\alpha^*$  est un minimum local de  $\varphi$  qui assure de plus la décroissance de  $f$ . En fait, dans la plupart des algorithmes d'optimisation modernes, on ne fait jamais de recherche linéaire exacte, car trouver  $\alpha^*$  signifie qu'il va falloir calculer un grand nombre de fois la fonction  $\varphi$ , et cela peut être dissuasif du point de vue du temps de calcul. En pratique, on recherche plutôt une valeur de  $\alpha$  qui assure une décroissance suffisante de  $f$ . Cela conduit à la notion d'intervalle de sécurité.

### 2.1.4 Intervalle de sécurité

**Définition 2.1** *On dit que  $[a, b]$  est un intervalle de sécurité s'il permet de classer les valeurs de  $\alpha$  de la façon suivante :*

- ◆ Si  $\alpha < a$  alors  $\alpha$  est considéré trop petit.
- ◆ Si  $b \geq \alpha \geq a$  alors  $\alpha$  est satisfaisant.
- ◆ Si  $\alpha > b$  alors  $\alpha$  est considéré trop grand.

*Le problème est de traduire de façon numérique sur  $\varphi$  les trois conditions précédentes, ainsi que de trouver un algorithme permettant de déterminer  $a$  et  $b$ . L'idée est de partir d'un intervalle suffisamment grand pour contenir  $[a, b]$ , et d'appliquer une bonne stratégie pour itérativement réduire cet intervalle.*

### 2.1.5 Algorithme de base

**Etape 0 : (initialisation)**

$a = b = 0$ , choisir  $\alpha_1 > 0$ , poser  $k = 1$  et aller à l'étape 1 ;

**Etape 1 :**

Si  $\alpha_k$  convient, poser  $\alpha^* = \alpha_k$  et on s'arrête.

Si  $\alpha_k$  est trop petit on prend  $a_{k+1} = \alpha_k$ ,  $b_{k+1} = b$ ,  
et on va à l'étape 2 .

Si  $\alpha_k$  est trop grand on prend  $b_{k+1} = \alpha_k$ ,  $a_{k+1} = a$ ,  
et on va à l'étape 2 .

**Etape 2 :**

Si  $b_{k+1} = 0$  déterminer  $\alpha_{k+1} \in ]a_{k+1}, +\infty[$ .

Si  $b_{k+1} \neq 0$  déterminer  $\alpha_{k+1} \in ]a_{k+1}, b_{k+1}[$ ,  
remplacer  $k$  par  $k + 1$  et aller à l'étape 1.

Il faut maintenant préciser quelles sont les relations sur  $\varphi$  qui va nous permettre de caractériser les valeurs de  $\alpha$  convenables, ainsi que les techniques utilisées pour réduire l'intervalle.



## 2.2 Recherches linéaires "exactes"

Comme on cherche à minimiser  $f$ , il semble naturel de chercher à minimiser le critère le long de  $d_k$  et donc de déterminer le pas  $\alpha_k$  comme solution du problème

$$\min_{\alpha > 0} \varphi(\alpha)$$

C'est ce que l'on appelle la règle de Cauchy et le pas déterminé par cette règle est appelé pas de Cauchy ou pas optimal. Dans certains cas, on préférera le plus petit point stationnaire de  $\varphi$  qui fait décroître par cette fonction :

$$\alpha_k = \inf \{ \alpha > 0 : \varphi'(\alpha) = 0, \varphi(\alpha) < \varphi(0) \}.$$

On parle alors de règle de Curry et le pas déterminé par cette règle est appelé pas de Curry. De manière un peu imprécise, ces deux règles sont parfois qualifiées de recherche linéaire exacte. Elles ne sont utilisées que

dans des cas particuliers, par exemple lorsque  $\varphi$  est quadratique, la solution de la recherche linéaire s'obtient de façon exacte et dans un nombre fini d'itérations.

## 2.3 Recherches linéaires inexactes

On considère la situation qui est typique pour l'application de la technique de recherche linéaire à l'intérieur de la méthode principale multidimensionnelle. Sur une itération  $k$  de la dernière méthode nous avons l'itération courante  $x_k \in \mathbb{R}^n$  et la direction de recherche  $d_k \in \mathbb{R}^n$  qui est direction de descente pour notre objectif :  $f : \mathbb{R}^n \rightarrow \mathbb{R}$

$$\nabla^T f(x_k) d_k < 0.$$

Le but est de réduire "de façon importante" la valeur de l'objectif par un pas  $x_k \rightarrow x_{k+1} = x_k + \alpha_k d_k$  de  $x_k$  dans la direction  $d_k$ . Pour cela de nombreux mathématiciens (Armijo [9], Goldstein, Wolfe [10], Albaali [11], Touati-Ahmed [12], Lemaréchal, Fletcher...) ont élaboré plusieurs règles.

### Schéma des recherches linéaires inexactes

Elles reviennent à déterminer, par tâtonnement un intervalle  $[a, b]$ , où  $\alpha^* \in [a, b]$ , dans lequel :

$$f(x_k + \alpha_k d_k) < f(x_k).$$

Le schéma de l'algorithme est donc :

**Algorithme (Schéma général des recherches linéaires inexactes)**

**Etape 0 :** (initialisation)

$a_1 = b_1 = 0$ , choisir  $\alpha_1 > 0$ , poser  $k = 1$  et aller à l'étape 1 :

**Etape 1 :**

Si  $\alpha_k$  est satisfaisant (suivant un certain critère) : STOP( $\alpha^* = \alpha_k$ ).

Si  $\alpha_k$  est trop petit (suivant un certain critère) : nouvel intervalle :  $[a_{k+1} = \alpha_k, b_{k+1} = b]$  et aller à l'étape 2.

**Etape 2 :**

Si  $b_{k+1} = 0$  déterminer  $\alpha_{k+1} \in ]a_{k+1}, +\infty[$ .

Si  $a_{k+1} \neq 0$  déterminer  $\alpha_{k+1} \in ]a_{k+1}, b_{k+1}[$ ,

remplacer  $k$  par  $k + 1$  et aller à l'étape 1.

Il nous reste donc à décider selon quel(s) critère(s) est trop petit ou trop grand ou satisfaisant

### 2.3.1 Caractérisation de l'intervalle de sécurité

#### la règle d'Armijo

Une condition naturelle est de demander que  $f$  décroisse autant qu'une portion  $\delta \in ]0, 1[$  de ce que ferait le modèle linéaire de  $f$  en  $x_k$ . Cela conduit à l'inégalité suivante, parfois appelée condition d'Armijo ou condition de décroissance linéaire :

$$f(x_k + \alpha_k d_k) \leq f(x_k) + \delta \alpha_k \nabla f(x_k)^T d_k. \quad (2.6)$$

Elle est de la forme (2.4), car  $\delta$  devra être choisi dans  $]0, 1[$ . On voit bien à la figure (2.1) ce que signifie cette condition. Il faut qu'en  $\alpha_k$ , la fonction prenne une valeur plus petite que celle prise par la fonction affine

$$\alpha \rightarrow f(x_k) + \delta \alpha \nabla^T f(x_k) d_k. \quad (2.7)$$

#### Règle d'Armijo

◆ Si  $\varphi(\alpha) \leq \varphi(0) + \delta \varphi'(0)\alpha$ , alors  $\alpha$  convient.

◆ Si  $\varphi(\alpha) > \varphi(0) + \delta \varphi'(0)\alpha$ , alors  $\alpha$  est trop grand.

On peut noter que l'on a

$$\varphi(\alpha) = f(x_k + \alpha d_k)$$

$$\varphi(0) = f(x_k),$$

$$\varphi'(0) = \nabla f(x_k)^T d_k.$$

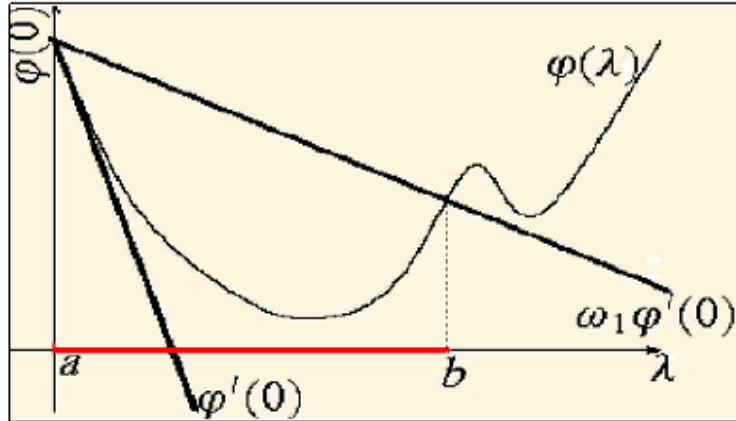


FIG. 2.1 – La règle d'Armijo

**Algorithme 2.1 (Règle d'Armijo)**

**Etape 0 : (initialisation)**

$a_1 = b_1 = 0$ , choisir  $t_1 > 0$ ,  $\omega_1 \in ]0, 1[$  poser  $k = 1$  et aller à l'étape

1.

**Etape 1 :**

Si  $\varphi(\alpha_k) \leq \varphi(0) + \delta \varphi'(0) \alpha_k$  : STOP ( $\alpha^* = \alpha_k$ ).

Si  $\varphi(\alpha_k) > \varphi(0) + \delta \varphi'(0) \alpha_k$ , alors

$b_{k+1} = b$ ,  $a_{k+1} = \alpha_k$  et aller à l'étape 2.

**Etape 2 :**

Si  $b_{k+1} = 0$  déterminer  $\alpha_{k+1} \in ] a_{k+1}, +\infty [$ ,

Si  $b_{k+1} \neq 0$  déterminer  $\alpha_{k+1} \in ] a_{k+1}, b_{k+1}[$ ,

remplacer  $k$  par  $k + 1$  et aller à l'étape 1.

**Remarque 2.1**

1) En pratique, la constante  $\delta$  est prise très petite, de manière à satisfaire (2.6) le plus facilement possible. Typiquement,  $\delta = 10^{-4}$ . Notons que cette constante ne doit pas être adaptée aux données du problème et donc que l'on ne se trouve pas devant un choix de valeur délicat.

2) Dans certains algorithmes, il est important de prendre  $\delta < \frac{1}{2}$  pour que le pas  $\alpha_k$  soit accepté lorsque  $x_k$  est proche d'une solution.

3) Il est clair d'après la figure (2.1) que l'inégalité (2.6) est toujours vérifiée si  $\alpha_k > 0$  est suffisamment petit.

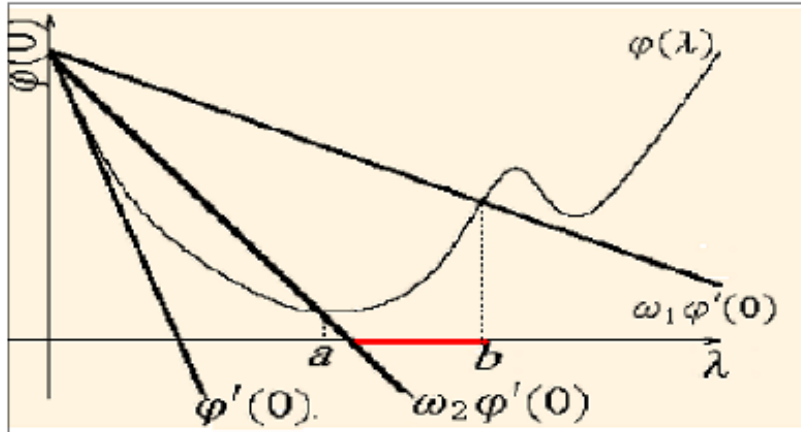


FIG. 2.2 – La règle de Goldestein

On a vu qu'il était dangereux d'accepter des pas trop petits, cela pouvait conduire à une fausse convergence. Il faut donc un mécanisme supplémentaire qui empêche le pas d'être trop petit. On utilise souvent la technique de rebroussement due à *Armijo* [9, 1966] ou celle de *Goldstein*.

### La règle de Goldstein

La règle de *Goldstein* remédie à cet inconvénient (le pas  $\alpha_k$  doit être trop petit). Dans celle-ci, en ajoutant une deuxième inégalité à la règle d'*Armijo* on obtient la règle de *Goldstein*.

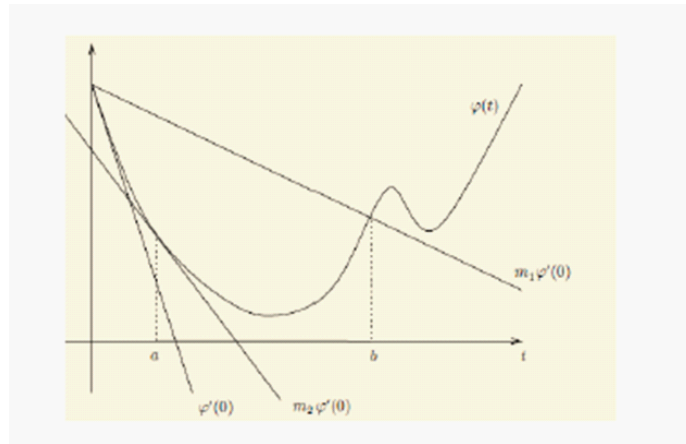
$$f(x_k) + \delta \alpha_k \nabla^T f(x_k) d_k \geq f(x_k + \alpha_k d_k) \geq f(x_k) + \sigma \alpha_k \nabla^T f(x_k) d_k, \quad (2.8)$$

où  $\delta$  et  $\sigma$  sont deux constantes vérifiant  $0 < \delta < \sigma < 1$ , cette inégalité qui empêche le pas d'être trop petit.

### la règle de Wolfe :

La règle de *Wolfe* fait appel au calcul de  $\varphi'(t)$ , elle est donc en théorie plus coûteuse que la règle de *Goldstein*. Cependant dans de nombreuses applications, le calcul du gradient  $\nabla f(x)$  représente un faible coût additionnel en comparaison du coût d'évaluation de  $f(x)$ , c'est pourquoi cette règle est très utilisée.

Nous allons présenter les conditions de *Wolfe faibles* sur  $\alpha > 0$  :



### Règle de wolf faible

$$f(x_k + \alpha d_k) \leq f(x_k) + \delta \alpha \nabla f(x_k)^T . d_k .$$

$$\nabla f(x_k + \alpha d_k)^T . d_k \geq \sigma \nabla f(x_k)^T . d_k .$$

avec  $0 < \delta < \sigma < 1$  .

Pour expliquer ces conditions posons

$$l(\alpha) = \phi(0) + (\sigma \phi'(0)) \alpha .$$

### Règle de Wolfe faible

- ◆ Si  $\phi(\alpha) \leq \phi(0) + \delta \phi'(0) \alpha$  et  $\phi'(\alpha) \geq \sigma \phi'(0)$ , alors  $\alpha$  convient.
- ◆ Si  $\phi(\alpha) > \phi(0) + \delta \phi'(0) \alpha$ , alors  $\alpha$  est trop grand.
- ◆ Si  $\phi'(\alpha) < \sigma \phi'(0)$ , alors  $\alpha$  est trop petit.

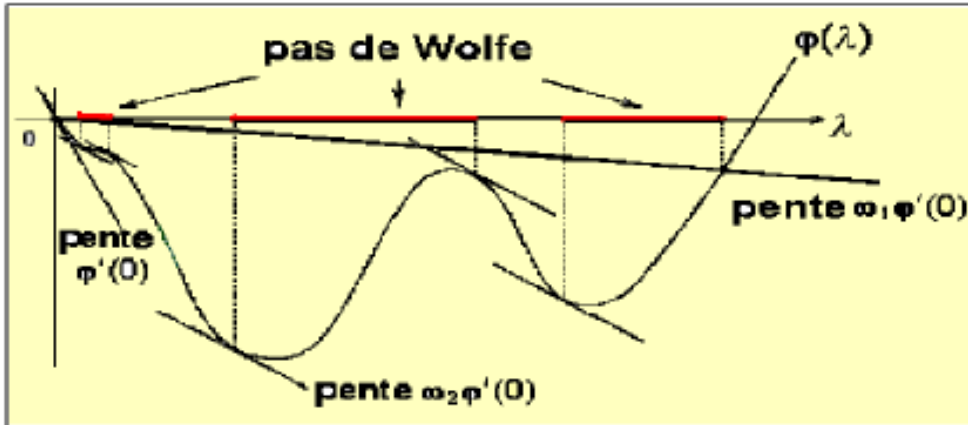


FIG. 2.3 – La règle de Wolfe

**Algorithme 2.3 (Règle de Wolfe)**

**Etape 0 : (initialisation)**

$a_1 = b_1 = 0$ , choisir  $t_1 > 0$ ,  $\delta \in ]0, 1[$ ,  $\sigma \in ]\delta, 1[$ , poser  $k = 1$  et aller à l'étape 1.

**Etape 1 :**

Si  $\phi(\alpha_k) \leq \phi(0) + \delta\phi'(0)\alpha_k$  et  $\phi'(t) \geq \sigma\phi'(0)$  : STOP ( $\alpha^* = \alpha_k$ ).

Si  $\phi(\alpha_k) > \phi(0) + \delta\phi'(0)\alpha_k$ , alors

$b_{k+1} = \alpha_k$ ,  $a_{k+1} = \alpha_k$ , et aller à l'étape 2.

Si  $\phi'(t) < \sigma\phi'(0)$ , alors  $b_{k+1} = b_k$ ,  $a_{k+1} = \alpha_k$  et aller à l'étape 2.

**Etape 2 :**

Si  $b_{k+1} = 0$  déterminer  $\alpha_{k+1} \in ]a_{k+1}, +\infty[$

Si  $b_{k+1} \neq 0$  déterminer  $\alpha_{k+1} \in ]a_{k+1}, b_{k+1}[$ .

**Règle de Wolfe Forte** On obtient des contraintes plus fortes si l'on remplace (W2) par

$$|\nabla f(x_k + \alpha d_k)^T \cdot d_k| \leq -\sigma \nabla f(x_k)^T \cdot d_k$$

Les (W1) et (W3) sont les conditions de Wolfe fortes. La contrainte (W3) entraîne que  $\sigma\phi'(0) \leq \phi'(\alpha) \leq -\sigma\phi'(0)$  c-à-d.  $\phi'(\alpha)$  n'est pas "trop"

**Remarque 2.2**

1) On voit bien que les conditions de *Wolfe fortes* impliquent les conditions de *Wolfe faibles*, en effet :

$$\begin{aligned} |\nabla^T f(x_k + \alpha_k d_k) d_k| &\leq -\sigma \nabla^T f(x_k) d_k \\ \Leftrightarrow \sigma \nabla^T f(x_k) d_k &\leq \nabla^T f(x_k + \alpha_k d_k) d_k \leq -\sigma \nabla^T f(x_k) d_k \\ \Rightarrow \sigma \nabla^T f(x_k) d_k &\leq \nabla^T f(x_k + \alpha_k d_k) d_k. \end{aligned} \quad (W2)$$

2) L'existence de valeurs  $\alpha$  de vérifiant les conditions de *Wolfe faibles* et *fortes*. est donnée par la Proposition suivante.

**Proposition 2.1** .Soit  $f \in C^1$  et  $d$  une direction de descente de  $f$  en  $x$ , on suppose que  $f$  est minorée. Alors, si  $0 < \delta < \sigma < 1$ , il existe des intervalles dans  $\mathbb{R}_+$  qui vérifient les conditions de *Wolfe faibles* et *fortes*.

## 2.4 Convergence des méthodes à directions de descente

### 2.4.1 Condition de Zoutendijk

Dans cette section on va étudier la contribution de la recherche linéaire inexacte à la convergence des algorithmes à directions de descente. On dit qu'une règle de recherche

linéaire satisfait la condition de *Zoutendijk* [13] s'il existe une constante  $C > 0$  telle que pour tout indice  $k \geq 1$  on ait

$$f(x_{k+1}) \leq f(x_k) - C \|\nabla f(x_k)\|^2 \cos^2 \theta_k, \quad (2.10)$$

où  $\theta_k$  est l'angle que fait  $d_k$  avec  $-\nabla f(x_k)$ , défini par

$$\cos \theta_k = \frac{-\nabla^T f(x_k) d_k}{\|g_k\| \|d_k\|}.$$

Voici comment on se sert de la condition de *Zoutendijk*.

**Proposition 2.2** *Si la suite  $\{x_k\}$  générée par un algorithme d'optimisation vérifie la condition de Zoutendijk (2.10) et si la suite  $\{f(x_k)\}$  est minorée, alors*

$$\sum_{k \geq 1} \|\nabla f(x_k)\|^2 \cos^2 \theta_k < \infty. \quad (2.11)$$

### Démonstration

En sommant les inégalités (2.10), on a

$$\sum_{k \geq 1} \|\nabla f(x_k)\|^2 \cos^2 \theta_k \leq \frac{1}{C} (f(x_1) - f(x_{l+1})).$$

La série est donc convergente puisqu'il existe une constante  $C'$  telle que pour tout  $k$ ,  $f(x_k) \geq C'$ . Il ya des propositions précisent les circonstances dans lesquelles la condition de Zoutendijk (2.10) est vérifiée avec les règles de la recherche linéaire exacte (*Cauchy, Curry*) et aussi les règles de la recherche linéaire inexacte (*Armijo, Wolfe*).

qui concernant la proposition qui est vérifiée la condition de Zoutendijk avec la règle de *Wolfe*.

**Proposition 2.3** *Soit  $f : \mathbb{R}^n \rightarrow \mathbb{R}$  une fonction contiuement différentiable dans un voisinage de  $\Omega = \{x \in \mathbb{R}^n : f(x) \leq f(x_1)\}$ . On considère un algorithme à directions de descente  $d_k$ , qui génère une suite  $\{x_k\}$  en utilisant la recherche linéaire de Wolfe (w1)-(w2).*

*Alors il existe une constante  $C > 0$  telle que, pour tout  $k \geq 1$ , la condition de Zoutendijk (2.10) est vérifiée.*

### Démonstration

Noton  $g_k = \nabla f(x_k)$  et  $g_{k+1} = \nabla f(x_k + \alpha_k d_k)$ .

D'après (W2)

$$g_{k+1}^T d_k \geq \sigma g_k^T d_k$$

$$\begin{aligned} \Rightarrow & (g_{k+1} - g_k)^T d_k \geq (\sigma - 1) g_k^T d_k \\ = & -(1 - \sigma) g_k^T d_k = (1 - \sigma) |g_k^T d_k| \\ \Leftrightarrow & (1 - \sigma) |g_k^T d_k| \leq (g_{k+1} - g_k)^T d_k, \end{aligned}$$



**CHAPITRE 2. RECHERCHE LINÉAIRE EXACTE ET  
INEXACTE**

---

et du fait que  $f$  est continement différentiable :

$$\begin{aligned}(1 - \sigma) |g_k^T d_k| &= (1 - \sigma) \|g_k\| \|d_k\| \cos \theta_k \\ &\leq \|g_{k+1} - g_k\| \|d_k\| \\ &\Rightarrow (1 - \sigma) \|g_k\| \cos \theta_k \leq L \alpha_k \|d_k\| \\ &\Rightarrow \alpha_k \|d_k\| \leq \frac{(1 - \sigma)}{L} \|g_k\| \cos \theta_k,\end{aligned}$$

en utilisant (w1), on aura :

$$\begin{aligned}f(x_k + \alpha_k d_k) &\leq f(x_k) + \delta \alpha_k g_k^T d_k \\ &\Rightarrow f(x_k + \alpha d_k) \leq f(x_k) + \delta \alpha g_k^T d_k \leq f(x_k) + |\delta \alpha g_k^T d_k| \\ &\Rightarrow f(x_k + \alpha d_k) \leq f(x_k) + \delta \alpha |g_k^T d_k| \leq f(x_k) - \delta \alpha g_k^T d_k \\ &\Rightarrow f(x_k + \alpha d_k) \leq f(x_k) - \delta \alpha \|g_k\| \|d_k\| \cos \theta_k \\ &\Rightarrow f(x_k + \alpha d_k) \leq f(x_k) - \frac{\delta(1 - \sigma)}{L} \|g_k\|^2 \cos^2 \theta_k.\end{aligned}$$

On en déduit (2.10).

## Chapitre 3

# Méthode du gradient conjugué :

### 3.1 Optimisation quadratique sans contrainte

#### 3.1.1 définition et théorème fondamentaux

Soit  $A$  est une matrice  $(n, n)$  symétrique et définie positive et  $b \in \mathbb{R}^n$ .  
On

appelle problème de minimisation quadratique sans contrainte, le problème noté  $(P)$

$$\min_{x \in \mathbb{R}^n} \left\{ \frac{1}{2} x^T A x - b^T x \right\} \quad (P)$$

**Théorème 3.1** *Le problème  $(P)$  a une solution unique  $x^*$ . solution du système linéaire  $Ax = b$  c'est-à-dire que  $x^*$  vérifié*

$$x^* = A^{-1}b \quad (3.1)$$

**Proof.** Considérons  $f(x) = \frac{1}{2}x^T A x - b^T x$ . notons  $H(x)$  la matrice Hessienne de  $f$  au point  $x$ . On a ■

$$H(x) = A, \forall x \in \mathbb{R}^n \quad (3.2)$$

Rappelons le théorème de l'analyse convexe.

Soit  $f : S \rightarrow \mathbb{R} \subset \mathbb{R}^n$  convexe. Alors  $f$  est convexe sur  $S$  si et seulement si  $H(x)$  est semi définie positive pour tout  $x \in S$  De plus si  $f$  est strictement quadratique de la forme

$$f(x) = \frac{1}{2}x^T Ax - b^T x$$

Alors  $f$  est strictement convexe si et seulement si  $H(x)$  est définie positive pour tout  $x \in \mathbb{R}^n$ . Pour

$$f(x) = \frac{1}{2}x^T Ax - b^T x$$

on a  $H(x) = A, \forall x \in \mathbb{R}^n$ . Par hypothèse  $A$  est définie positive, donc

$$f(x) = \frac{1}{2}x^T Ax - b^T x$$

est strictement convexe dans  $\mathbb{R}^n$ .

Rappelons maintenant ce deuxième résultat de l'optimisation convexe. Soit  $S \subset \mathbb{R}^n$  convexe et ouvert et  $f : S \rightarrow \mathbb{R}$  strictement convexe et  $(P)$  le problème d'optimisation convexe suivant

$$\min_{x \in \mathbb{R}^n} f(x) \tag{P}$$

Alors  $x^* \in \mathbb{R}^n$  est solution optimale de  $(P)$  si et seulement si

$$\nabla f(x^*) = 0$$

De plus si  $x^*$  existe, alors elle est unique. Appliquons ce résultat à notre problème.

$$f(x) = \frac{1}{2}x^T Ax - b^T x$$

est strictement convexe.

$S = \mathbb{R}^n$  est convexe et ouvert.  $x \in \mathbb{R}^n$  est solution optimale de  $(P)$  si et seulement si

$$\nabla f(x) = 0$$

Or

$$\nabla f(x) = Ax - b$$

Donc

$$\nabla f(x) = 0 \iff Ax - b = 0 \iff Ax = b \tag{3.3}$$

Donc  $x^*$  solution optimale de (P) si et seulement si  $x^*$  vérifie

$$Ax^* = b \quad (3.4)$$

$A$  étant définie positive, alors  $A$  est inversible. Par conséquent  $x^*$  solution de (3.4) est donnée par

$$x^* = A^{-1}b \quad (3.5)$$

### Calcul du pas obtenu par une recherche linéaire exacte

$A$  est une matrice  $(n, n)$  symétrique et définie positive et  $b \in \mathbb{R}^n$  et

$$f(x) = \frac{1}{2}x^T Ax - b^T x$$

considérons le problème (P)

$$\left\{ \min_{x \in \mathbb{R}^n} \frac{1}{2}x^T Ax - b^T x \right\} \quad (P)$$

les méthode a direction de recherche linéaire génèrent des suites  $\{x_k\}_{k=1,2,\dots}$  de la manière suivante

- On démarre par  $x_1 \in \mathbb{R}^n$  a l'itération  $k$  si on a  $x_k \in \mathbb{R}^n$
- Le successeur  $x_{k+1}$  de  $x_k$  donnée par la relation suivante

$$x_{k+1} = x_k + \alpha_k d_k$$

où  $d_k \in \mathbb{R}^n$  est une direction de recherche et  $\alpha_k \in \mathbb{R}^n$  est le pas de recherche obtenu par une recherche linéaire exacte ou inexacte. Dans le cas d'une recherche linéaire exacte  $\alpha_k$  vérifie

$$f(x_k + \alpha_k d_k) = \min_{\alpha > 0} f(x_k + \alpha d_k) \quad (3.6)$$

Notons

$$g_k = \nabla f(x_k) = Ax_k - b \quad (3.7)$$

**Théorème 3.2** Soit  $A$  est une matrice  $(n, n)$  symétrique et définie positive et  $b \in \mathbb{R}^n$  et

$$f(x) = \frac{1}{2}x^T Ax - b^T x$$

. Considérons le problème(P)

$$\min_{x \in \mathbb{R}^n} f(x) = \left\{ \min_{x \in \mathbb{R}^n} \frac{1}{2}x^T Ax - b^T x \right\} \quad (\text{p})$$

Supposons qu'à l'itération  $k$  on a une direction  $d_k$  de descente, c'est à dire que  $d_k$  vérifie

$$g_k^t d_k = (Ax_k - b)^t d_k < 0 \quad (3.8)$$

soit  $\alpha_k > 0$  obtenue par une recherche linéaire exacte c-à-dire que  $\alpha_k$  vérifie

$$f(x_k + \alpha_k d_k) = \min_{\alpha > 0} f(x_k + \alpha d_k)$$

Alors

$$\alpha_k = -\frac{g_k^T d_k}{d_k^T A d_k} \quad (3.9)$$

preuve :considérons

$$\varphi(\alpha_k) = f(x_k + \alpha d_k) \quad (3.10)$$

Donc  $\alpha_k$  est la solution optimale du problème unidimensionnel suivant

$$\varphi(\alpha_k) = \min_{\alpha > 0} \varphi(\alpha) \quad (3.11)$$

$A$  définie positive, Alors

$$f(x) = \frac{1}{2}x^T Ax - b^T x$$

est strictement convexe sur  $\mathbb{R}$ .

Par conséquent

$$\varphi(\alpha) = f(x_k + \alpha d_k)$$

est strictement convexe sur  $]0, \infty[$  qui est un ouvert convexe.

Donc  $\alpha_k$  solution optimale de (3.12) si et seulement  $\alpha_k$  vérifie

$$\varphi'(\alpha) = 0$$

Or

$$\begin{aligned}\varphi'(\alpha) &= \nabla f(x_k + \alpha d_k)^T d_k \\ &= [A(x_k + \alpha d_k) - b]^T d_k \\ &= [Ax_k - b + \alpha Ad_k]^T d_k \\ &= [g_k + \alpha Ad_k]^T d_k \\ &= g_k^T d_k + \alpha d_k^T Ad_k\end{aligned}$$

Donc

$$\varphi'(\alpha) = 0 \iff \alpha d_k^T Ad_k = -g_k^T d_k$$

encore

$$\alpha = -\frac{g_k^T d_k}{d_k^T Ad_k}$$

**Remarque 3.1** Si  $A$  n'est pas définie positive mais seulement semi définie positive, alors  $f$  n'est pas strictement convexe, et  $d_k^T Ad_k$  peut être égale à zéro. Par conséquent  $\alpha_k$  ne sera plus définie par (3.9).

### 3.1.2 Méthode des directions conjuguées

#### Définitions et propriétés générales

**Définition 3.1** Soit  $A$  une matrice  $(n, n)$  symétrique. Les directions  $d_0, d_1, \dots, d_k$  sont dites  $A$  conjuguées si on a :

$$d_i^T Ad_j = 0, \quad 0 \leq i, j \leq k$$

**Théorème 3.3** Soit  $A$  une matrice  $(n, n)$  symétrique et définie positive. Si les directions  $d_0, d_1, \dots, d_k$  avec  $k \leq n - 1$ , sont non nuls et  $A$  conjuguées, alors ils sont linéairement indépendants.

**Proof.** Supposons que ■

$$\alpha_0 d_0 + \alpha_1 d_1 + \dots + \alpha_k d_k = 0 \tag{3.12}$$

Multiplions l'égalité (3.12) par  $d_j^T A$ , on obtient

$$0 = \sum_{i,j=0}^k \alpha_j d_j^T A d_j = \alpha_j d_j^T A d_j \quad (3.13)$$

Or

$$\alpha_j d_j^T A d_j = 0 \implies \alpha_j = 0 \quad (3.14)$$

car  $A$  est définie positive et par conséquent  $d_j^T A d_j > 0$  est libre.

### L'algorithme de directions conjuguées

Soit  $A$  une matrice  $(n, n)$  symétrique et définie positive et  $b \in \mathbb{R}^n$ . Considérons le problème de minimisation quadratique sans contrainte,  $(P)$ , suivant

$$\min_{x \in \mathbb{R}^n} \left\{ \frac{1}{2} x^T A x - b^T x \right\} \quad P$$

#### Algorithme des directions conjuguées

##### a) Initialisation

On se donne  $x_0 \in \mathbb{R}$  quelconque et  $d_0, d_1, \dots, d_{n-1} A$ , conjuguées, Poser  $k = 0$  et aller à

##### b) Étape principale

Pour  $k \geq 0$

Calculez

$$\alpha_k = -\frac{g_k^T d_k}{d_k^T A d_k}$$

et

$$x_{k+1} = x_k + d_k \alpha_k$$

Poser  $k = k + 1$  et aller à  $b$ .

### 3.1.3 Méthode du gradient conjugué

Les méthodes du gradient conjugué sont utilisés pour résoudre les problèmes d'optimisation non linéaire sans contraintes spécialement les problèmes de grandes tailles . On l'utilise aussi pour résoudre les grands systèmes linéaires

l'idée initiale était de trouver une suite de direction de descente permettant de résoudre le problème

$$\min \{f(x) : x \in \mathbb{R}^n\} \quad (\text{p})$$

Où  $f$  est régulière (continument différentiable)

– Dans la méthode des directions conjuguées, les directions  $d_0, \dots, d_{n-1}$ , sont données à l'avance.

– Dans la méthode du gradient conjugué, On démarre d'un point  $x_0 \in \mathbb{R}^n$

$$\begin{aligned} d_0 &= -g_0 \\ &= \nabla f(x_0) \\ &= Ax_0 - b \end{aligned}$$

les directions  $d_k, k = 1, \dots, n-1$  sont calculés à chaque itération à l'itération  $k$

$$d_k = -g_k + \beta_{k-1}d_{k-1}$$

$\beta_{k-1}$  est obtenu de sorte que  $d_k$  et  $A$  soit conjugués avec les autres vecteurs  $d_j, j = 0, \dots, k-1$

En d'autre terme on doit avoir

$$d_k^T A d_i = 0, i = 0, \dots, k-1 \quad (3.15)$$

Dans l'appellation gradient conjugué, on trouve les deux mots gradient et conjugué

a) Le mot gradient est utilisé car  $d_k$  est calculé à partir du gradient au point  $x_k$

b) Le mot conjugué est aussi justifié, car et comme on le verra plus loin, les directions

$\{d_k\}_{k=0}^{n-1}$  sont  $A$  conjugués

### Algorithme du gradient conjugué . "cas quadratique"

#### Principe de l'algorithme

– On démarre d'un point quelconque  $x_0 \in \mathbb{R}^n$

– Calculez

$$\begin{aligned} d_0 &= -g_0 \\ &= b - Ax_0 \\ \alpha_0 &= -\frac{g_0^T d_0}{d_0^T A d_0} \end{aligned}$$

Supposons qu'à l'itération  $k$  on ait  $x_k$  et  $d_k$  . Ceci nous permettra de calculer

$$g_k = Ax_k - b, \alpha_k = -\frac{g_k^T d_k}{d_k^T A d_k}, x_{k+1} = x_k + \alpha_k d_k, g_{k+1} = Ax_{k+1} - b$$



$$d_{k+1} = -g_{k+1} + \beta_k d_k \quad (3.16)$$

$\beta_k$  est choisi de sorte que

$$d_{k+1}^T A d_k = 0 \quad (3.17)$$

Puisque

$$d_{k+1} = -g_{k+1} + \beta_k d_k$$

alors (3.17) donne

$$(-g_{k+1} + \beta_k d_k)^T A d_k = 0$$

Ou encore

$$\beta_k d_k^T A d_k = g_{k+1}^T A d_k \quad (3.18)$$

et finalement

$$\beta_k = \frac{g_{k+1}^T A d_k}{d_k^T A d_k} \quad (3.19)$$

### Cas quadratique

Soit  $A$  une matrice  $(n, n)$ , symétrique et définie positive. On considère dans ce paragraphe le problème  $(P)$  suivant

$$\min \{f(x) : x \in \mathbb{R}^n\} = \left\{ \frac{1}{2} x^T A x - b^T x : x \in \mathbb{R}^n \right\} \quad (P)$$

### Algorithme

#### Algorithme du gradient conjugué. Cas quadratique

1. choisir  $x_0 \in \mathbb{R}^n$
2. Calculez  $g_0 = A x_0 - b$ ,  $g_0 = 0$  stop. sinon poser  $d_0 = -g_0$  Poser  $k = 0$
3. Calculez  $\alpha_k = -\frac{g_k^T d_k}{d_k^T d_k}$
4. Calculez  $x_{k+1} = x_k + \alpha_k d_k$
5. Calculez  $g_{k+1} = A x_{k+1} - b$  si  $g_{k+1} = 0$  stop
6. Calculez  $\beta_k = \frac{g_{k+1}^T A d_k}{d_k^T A d_k}$
7. Calculez  $d_{k+1} = -g_{k+1} + \beta_k d_k$
8. Poser  $k = k + 1$  et allez à 3

#### Cas des fonctions non quadratiques

### CHAPITRE 3. MÉTHODE DU GRADIENT CONJUGUÉ :

---

On s'intéresse dans cette section à la minimisation d'une fonction  $f$  de  $\mathbb{R}^n$  dans  $\mathbb{R}$  non nécessairement quadratique

$$\min \{f(x) : x \in \mathbb{R}^n\} \quad (3.20)$$

Les méthodes du gradient conjugué pour résoudre ce problème sont des méthodes itératives de la forme

$$x_{k+1} = x_k + \alpha_k d_k \quad (3.21)$$

Le pas  $\alpha_k \in \mathbb{R}$  étant déterminé par une recherche linéaire, la direction  $d_k$  est définie par la formule de récurrence suivante ( $\beta_k \in \mathbb{R}$ )

$$d_k = \begin{cases} -g_0 & \text{si } k = 0 \\ -g + \beta_{k-1} d_{k-1} & \text{si } k \geq 1 \end{cases} \quad (3.22)$$

Ces méthodes sont des extensions de la méthode du gradient conjugué linéaire du cas quadratique, si  $\beta_k$  prend l'une des valeurs :

$$\beta_k^{PRP}, \beta_k^{HS}, \beta_k^{LS}, \beta_k^{DY}, \beta_k^{CD}, \beta_k^{FR} \quad (3.23)$$

**Remarque 3.2** Dans le cas où  $f$  n'est pas quadratique on a

$$\beta_k^{FR} \neq \beta_k^{PRP} \neq \beta_k^{HS} \neq \beta_k^{LS} \neq \beta_k^{DY} \neq \beta_k^{CD}$$

Par conséquent, en appliquant l'algorithme du gradient conjugué non quadratique, en utilisant les coefficients  $\beta_k$ , on obtient des suites  $\{x_k\}_{k \in \mathbb{N}}$  différentes. ■

Que se passe-t-il si  $f$  est quadratique strictement convexe et si  $\alpha_k$  est obtenue par une recherche linéaire exacte.

**Remarque :** Dans le cas quadratique on a vu que :

$$\beta_{k+1}^{HS} = \beta_{k+1}^{PRP} = \beta_{k+1}^{FR} = \beta_{k+1}^{CD} = \beta_{k+1}^{DY}$$

#### Algorithme du gradient conjugué non quadratique

Soit  $f : \mathbb{R}^n \rightarrow \mathbb{R}$  non quadratique et (PNQ) le problème de minimisation non quadratique sans contrainte suivant

$$\min \{f(x) : x \in \mathbb{R}^n\} \quad (\text{PNQ})$$

Pour construire l'algorithme du gradient conjugué cas non quadratique , on peut s'inspirer de l'algorithme du gradient conjugué quadratique établi au chapitre précédent. Contrairement au cas quadratique , on n'a pas de matrice  $A$ . Par conséquent on n'a pas de direction conjugué comme dans le cas quadratique , l'algorithme du gradient conjugué cas non quadratique génère une suite  $\{x_k\}_{k \in N}$  de la manière suivante

$$x_{k+1} = x_k + \alpha_k d_k$$

L'algorithme démarre d'un un point  $x_0 \in \mathbb{R}^n$  quelconque a l'itération  $k$

Supposons qu'on ait le vecteur  $x_k \in \mathbb{R}^n$  et la direction  $d_{k-1}$  . Ceci nous permet de calculer  $\nabla f(x_k)$  au lieu  $g_k = Ax - b$  dans le cas quadratique. Pour avoir  $x_{k+1}$  , on a besoin de calculer  $\alpha_k$  et  $d_k$  calculer de  $d_k$

$$d_k = -\nabla f(x_k) \beta_{k-1} d_{k-1} \tag{3.24}$$

On a huit façon pour calculer  $\beta_{k-1}$

$$\beta_{k-1}^{HS}, \beta_{k-1}^{PRP}, \beta_{k-1}^{FR}, \beta_{k-1}^{DY}, \beta_{k-1}^{LS}, \beta_{k-1}^{CD}$$

Calculer de  $\alpha_k$  :

Ayant obtenu  $d_k$ , rappelons que  $\alpha_k$  vérifie

$$f(x_k + \alpha_k d_k) = \min \{f(x_k + \alpha d_k) : \alpha \in ]0, \infty[ \} \tag{3.25}$$

Dans le cas où

$$f(x) = \frac{1}{2} x^T A x - b^T x$$

A symétrique définie positive ,  $\alpha_k$  solution de (3.26) est donne par la relation suivan

$$\alpha_k = \frac{g_k^T d_k}{d_k^T A d_k} \tag{3.26}$$

Dans le cas où  $f$  n'est pas quadratique,  $\alpha_k$  ne peut pas être calculée par la form (3.26) . On calcule dans ce cas  $\alpha_k$  par d'autre méthode. On utilise par exemple la méthode du dichotomie ou la méthode de point fixe. Comme on le verra plus loin ,  $\alpha_k$  peut être calculée par une recherche linéaire inexacte d'Armijo ou Goldstien ou Wolfe.

### 3.1.4 Algorithme du gradient conjugué non quadratique

#### Algorithme Étape 1

Choisir  $x_0 \in \mathbb{R}^n$  quelconque et  $\varepsilon > 0$

**Étape 2** Poser  $k = 0$

Calculer  $g_0 = \nabla f(x_0)$  .Poser  $d_0 = -g_0$

**Étape 3** Calculez  $\alpha_k$  en utilisant une recherche linéaire exacte où inexacte d'Armijo ou de Goldstien ou de Wolfe Forte

Calculer  $x_{k+1} = x_k + d_k \alpha_k$

**Étape 4**

Si :  $\|\nabla f(x_{K+1})\| < \varepsilon$

stop, Sinon allez à étape 5

**Étape 5**

Calculez  $g_{k+1} = \nabla f(x_{K+1})$  Calculez  $\beta_k$  par l'une des manière suivantes

$\beta_k = \beta_k^{HS}$  ou  $\beta_k = \beta_k^{FR}$  ou  $\beta_k = \beta_k^{PRP}$  ou  $\beta_k = \beta_k^{CD}$  ou  $\beta_k = \beta_k^{LS}$  ou  $\beta_k = \beta_k^{DY}$

Calculez  $d_{k+1} = -g_{k+1} + \beta_k d_k$

Posez  $k = k + 1$  et allez à l'étape 3

## Chapitre 4

# comparaison des performance d'une nouvelle méthode de gradient conjugué

### 4.1 introduction

La méthode de gradient conjugué (*CG*) a joué un rôle particulier pour la résolution à grande problèmes d'optimisation non linéaire en raison de la simplicité de leur itération et leurs besoins en mémoire très faibles. En fait, la méthode de la *CG* est pas parmi les algorithmes d'optimisation les plus rapides ou plus robuste pour les problèmes non linéaires disponibles aujourd'hui, mais il reste très populaire pour les ingénieurs et les mathématiciens qui sont intéressés à résoudre les grands problèmes .

La méthode non linéaire de gradient conjugué est conçu pour résoudre les problèmes d'optimisation sans contrainte suivant

$$\min \{f(x) : x \in \mathbb{R}^n\} \quad (4.1)$$

où  $f : \mathbb{R}^n \rightarrow \mathbb{R}$  est une fonction non linéaire, lisse dont le gradient est symbolisée par la fonction  $g$  : La formule itérative du la methode de gradient conjugué est donnée par :

$$x_{k+1} = x_k + \alpha_k d_k \quad (4.2)$$

où  $\alpha_k$  est une longueur de pas obtenu par une recherche linéaire unidimensionnelle, et  $d_k$  est le sens de la recherche défini par

CHAPITRE 4. COMPARAISON DES PERFORMANCE D'UNE  
NOUVELLE MÉTHODE DE GRADIENT CONJUGUÉ

---

$$d_k = \left\{ \begin{array}{ll} -g_1 & \text{si } k = 1, \\ -g_k + \beta_k d_{k-1} \dots & \text{si } k \geq 2, \end{array} \right\} \quad (4.3)$$

où  $g_k = \nabla f(x_k)$  ; et  $\beta_K$  est un scalaire. Il ya au moins six formules pour  $\beta_K$ , qui sont donnés ci-dessous

$$\beta_K^{HS} = -\frac{g_k^T (g_k - g_{k-1})}{d_{k-1}^T (g_k - g_{k-1})} \text{Hestenes - Stiefel [1], 1952} \quad (4.4)$$

$$\beta_K^{FR} = \frac{g_k^T g_k}{g_{k-1}^T g_{k-1}} \text{FletcherReeves [2], 1964} \quad (4.5)$$

$$\beta_K^{PRP} = \frac{g_k^T (g_k - g_{k-1})}{\|g_{k-1}\|^2} \text{Polak - Ribière - Polyak [3, 4], 1969} \quad (4.6)$$

$$\beta_K^{CD} = -\frac{g_k^T g_k}{d_{k-1}^T g_{k-1}} \text{descenteconjugué. [5] 1987} \quad (4.7)$$

$$\beta_K^{LS} = -\frac{g_k^T (g_k - g_{k-1})}{d_{k-1}^T g_{k-1}} \text{Liu - Storey [6], 1991} \quad (4.8)$$

$$\beta_K^{DY} = \frac{g_k^T g_k}{(g_k - g_{k-1})^T d_{k-1}} \text{Dai - yuan [7], 1999} \quad (4.9)$$

Récemment, Wei et al. [8]a proposé une nouvelle formule

$$\beta_K^{wyl} = \frac{g_k^T \left( g_k - \frac{\|g_k\|}{\|g_{k-1}\|} g_{k-1} \right)}{g_{k-1}^T g_{k-1}} \quad [8] \quad (4.10)$$

la formule *WYL* a non seulement agréable mais aussi des résultats numériques est globalement convergent avec la recherche linéaire exact et les conditions de recherche linéaire de *Grippo - Lucidi* [15] la méthode proposée est globalement convergent. Donc, il est évidemment que la condition suffisante de descente est important de la méthode *WYL*. Dans cet section nous allons montrer que la formule *WYL* avec la recherche linéaire de *Wolfe - Powell* forte posséder la condition suffisante de descente. Les  $\alpha_k$  vérifient les relations de *wolfe* forte suivantes :

$$f(x_k + \alpha_k d_k) - f(x_k) \leq \delta \alpha_k g_k^T d_k \quad (4.11)$$

$$\left| g(x_k + \alpha_k d_k)^T d_k \right| \leq \sigma |g_K^T d_k| \quad (4.12)$$

Où  $\delta \in (0, \frac{1}{2})$  et  $\sigma \in (\delta, 1)$

#### 4.1.1 La preuve de la condition suffisante de descente

Le théorème suivant montre que la formule WYL avec la resherche lineaire de SWP possèdent la condition suffisante de descente

**Théorème 4.1** *Supposer que les séquences  $\{g_k\}$  et  $\{d_k\}$  sont générés par la méthode de la forme (4.2),(4.3) et (4.10) et le pas  $\alpha_k$  est déterminée par la recherche lineaire de Wolf – Powell fort (4.11) et (4.12), si  $\sigma < \frac{1}{4}$  donc la séquence  $\{d_k\}$  possèdent la condition suffisante de descente*

$$g_K^T d_k \leq -c \|g_k\|^2 \quad (4.13)$$

**Proof.** Nous avons d'abord prouver la propriété de descente de  $\{d_k\}$  :Par (4.3) ■

nous avons  $g_K^T d_k = -\|g_k\|^2 + \beta_K^{wyl} g_k^T d_{k-1}$  combinant cette équation avec  $(\beta_K^{wyl})$ , nous avons

$$\frac{g_k^T d_k}{\|g_k\|^2} = -1 + \frac{\sigma g_{k-1}^T d_{k-1}}{\|g_{k-1}\|^2} \left( 1 - \frac{g_k^T g_{k-1}}{\|g_k\| \|g_{k-1}\|} \right) \leq \frac{g_k^T d_k}{\|g_k\|^2} \leq -1 + \frac{-\sigma g_{k-1}^T d_{k-1}}{\|g_{k-1}\|^2} \left( 1 - \frac{g_k^T g_{k-1}}{\|g_k\| \|g_{k-1}\|} \right) \quad (4.14)$$

puisque  $g_1^T d_1 = -\|g_1\|^2 < 0$  si  $g_1 \neq 0$ , Supposons maintenant que  $d_i; i = 1, 2, 3, \dots, k-1$

Sont toutes les directions de descente, Ex:  $g_k^T d_k < 0$

De l'inégalité de *Cauchy – Schwarz*, nous obtenons

$$0 \leq 1 - \frac{g_k^T g_{k-1}}{\|g_k\| \|g_{k-1}\|} \leq 2 \quad (4.15)$$

(4.14) et (4.15) en déduire

$$-1 + 2\sigma \frac{g_{k-1}^T d_{k-1}}{\|g_{k-1}\|^2} \leq \frac{g_k^T d_k}{\|g_k\|^2} \leq -1 - 2\sigma \frac{g_{k-1}^T d_{k-1}}{\|g_{k-1}\|^2} \quad (4.16)$$

En répétant ce processus et le fait  $g_1^T d_1 = -\|g_1\|^2$ , nous avons

$$-\sum_{j=0}^{k-1} (2\sigma)^j \leq \frac{g_k^T d_k}{\|g_k\|^2} \leq -2 + \sum_{j=0}^{k-1} (2\sigma)^j \quad (4.17)$$

puisque

$$\sum_{j=0}^{k-1} (2\sigma)^j < \sum_{j=0}^{\infty} (2\sigma)^j = \frac{1}{1-2\sigma}$$

(4.17) peut être écrite comme

$$-\frac{1}{1-2\sigma} \leq \frac{g_k^T d_k}{\|g_k\|^2} \leq -2 + \frac{1}{1-2\sigma} \quad (4.18)$$

En faisant la restriction  $\sigma \in (0, \frac{1}{4})$  nous avons  $g_k^T d_k < 0$ , Donc par induction  $\forall k \in \mathbb{N} g_k^T d_k < 0$  est vérifiée

Maintenant, nous prouvons la propriété suffisante descente de  $d_k$  .si  $\sigma \in (0, \frac{1}{4})$

set  $c = 2 - \frac{1}{1-2\sigma}$  puis

$0 < c < 1$  et (4.18) s'avère être

$$c - 2 \leq \frac{g_k^T d_k}{\|g_k\|^2} \leq -c$$

$$c - 2 \leq \frac{g_k^T d_k}{\|g_k\|^2} \leq -c \quad (4.19)$$

$\implies g_k^T d_k \leq -c \|g_k\|^2$  ou  $C = -2 + \frac{1}{1-2\sigma}$   
ce qui signifie que (4.13) est vérifiée.

### 4.1.2 propriétés convergentes

Dans ce paragraphe ,nous allons réintroduire les propriétés de convergence de la formule (4.10) , (4.11) et (4.12)

Les résultats réintroduits sont donnés dans [16 – 19], de sorte que les preuves de détail sont négligés.

Pour plus de commodité, nous avons d'abord introduire certaines hypothèses et des lemmes qui sont souvent utilisés dans les cours de méthodes de gradient conjugué..

Maintenant nous donnons l'algorithme suivant to d'abord

**Étape 1** :point initiale

$x_1 \in \mathbb{R}^n, \varepsilon \geq 0$ , fixe  $d_1 = -g_1$ , si  $\|g_1\| \leq \varepsilon$  alors stop

**Étape 2** :Calculer  $\alpha_k$  par quelques recherches linéaires

$\sigma = 0.01$ , et  $\sigma = 0.1$



CHAPITRE 4. COMPARAISON DES PERFORMANCE D'UNE  
NOUVELLE MÉTHODE DE GRADIENT CONJUGUÉ

---

**Étape 3 :** définir  $x_{k+1} = x_k + \alpha_k d_k$ , si  $\|g_{k+1}\| \leq \varepsilon$  alors stop  $\varepsilon = 10^{-6}$

**Étape 4 :** Calculer  $\beta_K$  par quelques formules et générer  $d_{k+1}$  par (4.3)

**Étape 4 :** poser  $K = k + 1$ , passez à l'étape 2.

Sur les études de méthodes de gradient conjugué la condition suffisante descente (4.13)

joue un rôle important. Malheureusement, cette condition ne peut être satisfaite pour de nombreuses méthodes de gradient conjugué

**Hypothèses A :** L'ensemble  $\Omega := \{x \in \mathbb{R}^n; f(x) \leq f(x_1)\}$  est borné où  $x_1 \in \mathbb{R}^n$  est le point initial.

**Hypothèses B :** Dans certains voisinage  $N$  de  $\Omega$ ,  $f(x)$  est continûment différentiable et son gradient est lipschitz continu, c'est-à-dire, pour toutes  $x, y \in N$ , il existe une constante  $L \geq 0$  telle que

$$\|g(x) - g(y)\| \leq L \|x - y\| \quad (4.20)$$

**Lemme 4.1 .** *Supposons que les hypothèses A et B ont vérifiées. considérer la méthode sous la forme d'(1.2) et (1.3), où  $d_k$  satisfait  $g_k^T d_k < 0$ , pour*

tout  $k$ , et  $\alpha_k$  est obtenu par SWP (4.11) et (4.12) alors,

$$\sum_{K \geq 1} \frac{(g_k^T d_k)^2}{\|d_k\|^2} < +\infty \quad (4.21)$$

Démonstration.

nous avons  $g_k^T d_k < 0$  pour tout  $K \geq 1$  Nous avons aussi de (4.12) et (4.20)

$$-(1 - \sigma) g_k^T d_k \leq (g_{k+1} - g_k)^T d_k \leq L \alpha_k \|d_k\|^2 \quad (4.22)$$

$$\alpha_k \geq \frac{-(1 - \sigma) g_k^T d_k}{L \|d_k\|^2} \quad (4.23)$$

laquelle associant (4.11), nous obtenons

$$f(x_k) - f(x_k + \alpha_k d_k) \geq -\delta \alpha_k g_k^T d_k \geq \delta \frac{(1 - \sigma) (g_k^T d_k)^2}{L \|d_k\|^2} \quad (4.24)$$

En outre, à partir de Hypothèse (A) nous avons  $\{f(x_k)\}$  est une suite décroissante et a une limite ci-dessous

dans  $\Omega$ , et montre  $\lim_{k \rightarrow \infty} f(x_{k+1}) < +\infty$  et (4.24) présente

$$+\infty > f(x_1) - \lim_{k \rightarrow \infty} f(x_{k+1}) = \sum |f(x_k) - f(x_{k+1})| \geq \delta \frac{(1-\sigma)}{L} \sum \frac{(g_k^T d_k)^2}{\|d_k\|^2} \quad (4.25)$$

Nous pouvons conclure que (4.21) est vérifiée.

## 4.2 Résultats numériques et discussion

Dans cette section, nous présentons les résultats numériques de notre méthode proposée basée sur la comparaison avec les méthodes *CG* de *FR*, *PRP*, *HS*, *DY*, *LS*

Ces comparaisons sont basé sur le nombre d'itérations et le temps *CPU*.

Nous avons examiné les performances numériques des formules proposées sur quelques fonctions quadratiques et non quadratique ; Nous avons considère  $\|g_k\| < 10^{-6}$  comme critère d'arrêt.  $\delta = 0.01$ , et  $\sigma = 0.1$  Nous utilisons la recherche linéaire inexacte et en utilisons matlab 2010

### Fonctions testes :

Les résultats numériques ont été obtenus sur les fonctions suivantes :

**Problème1 :**  $f(x, y) = x^2 + 4y^2 - 4x - 8y$  avec  $x_0 = (0, 0)$ ,  $x^* = (2, 1)$ ,  $f(x^*) = 0$

**Problème2 :**  $f(x, y) = (x - 2)^4 + (x - 2y)$  avec  $x_0 = (0, 0)$ ,  $x^* = (2, 1)$ ,  $f(x^*) = 0$

$(x - 2)^4 + (x - (x + 2y - 7)^2 + (2x + y - 5)^2$

la fonction  $f(x, y) = (x + 2y - 7)^2 + (2x + y - 5)$  (Bouth function) avec  $x^* = (1, 3)$ ,  $f(x^*) = 0$

application des méthodes de gradients sur fonction quadratique. Nous testons

les six méthodes *GC* suivantes :

*PRP*, *FR*, *WYL*, *DY*, *CD*, *LS*

La condition d'arrêt est  $\|g_k\| < 10^{-6}$

Dans cette partie, on adopter les notations suivantes :

*CPU* time : le temps

*NI* : nombre d'itérations

$\| \cdot \|$  la norme du gradient

### 4.2.1 Problème 3 :

Considérons le problème quadratique suivante :

CHAPITRE 4. COMPARAISON DES PERFORMANCE D'UNE  
NOUVELLE MÉTHODE DE GRADIENT CONJUGUÉ

---

$$f(x) = x^2 + 4y^2 - 4x - 8y = \frac{1}{2}x^T \begin{pmatrix} 2 & 0 \\ 0 & 8 \end{pmatrix} x - \begin{pmatrix} 4 \\ 8 \end{pmatrix} x$$

La solution optimal est(2.1)

la méthode du gradient à pas fixe, à pas optimal, puis le gradient conjuguée pour comparer ces méthode on choisit de démarrer les algorithmes que désencadrer au point de coordonnée  $x_0 = (0, 0)$

**Méthode du gradient à pas fixe**

Pour tester cette méthode, on pourra choisir par exemple un pas initial alpha= 0,001, alpha= 0,8 , alpha= 0,20

**Tableau 1** : Résultats numériques de la méthode du gradient à pas fixe

<i>alpha</i>	<i>NI</i>	<i>CPU time</i>	<i>la solution</i>	$\ g\ $
0.001	999	0.159	(1.72 0.99)	0.5413
0.8	467	0.123	échoué	échoué
0.20	34	0.003	(1.99;1)	$9 \times 10^{-7}$

la Convergence n'est pas assuré dans le cas 2 ou alpha= 0.8 (plus grand)  
Dans le troisième cas la convergence vers la solution optimal (2.1) est mieux

**Méthode du gradient à pas optimale**

$$\alpha_k = \frac{g_k^T g_k}{g_k^T A g_k} \text{ (exacte)}$$

**Tableau 2** : Résultats numériques de la méthode du gradient à pas optimale

<i>alpha</i>	<i>NI</i>	<i>CPU time</i>	<i>la solution</i>	$\ g\ $
0,14705	25	0,0087	(1,99;1)	$3,7 \times 10^{-7}$

l'algorithme converge vers le  $x^* = (1,99 \quad 1)$  qui est très proche du point optimale détecte théoriquement  $x^* = (2 \quad 1)$

**Méthode du gradient conjugué à pas optimale**

$$\alpha_k = \frac{g_k^T g_k}{g_k^T A g_k} \text{ (exacte)}$$

**Tableau 3** : Comparaison la performance de la méthode de *wyl* avec d'autre

<i>méthode</i>	$\beta_K$	<i>le pas</i> $\alpha_K$	<i>NI</i>	<i>CPU time</i>	<i>la solution</i>
<i>FR</i>	0,1245	0,147	2	0,00147	(2,1)
<i>PRP</i>	0,1245	0,147	2	0,00120	(2,1)
<i>wyl</i>	0,1245	0,147	2	0,001	(2,1)
<i>HS</i>	0,1245	0,147	2	0.03	(2,1)
<i>DY</i>	0,1245	0,147	2	0.002	(2,1)
<i>CD</i>	0,1245	0,147	2	0.002	(2,1)
<i>LS</i>	0,1245	0,147	2	0.0021	(2,1)

**Remarque 4.1** Dans le cas quadratique avec recherche linéaire exacte on a vu que  $\beta_K^{FR} = \beta_K^{PRP} = \beta_K^{LS} = \beta_K^{CD} = \beta_K^{DY}$

CHAPITRE 4. COMPARAISON DES PERFORMANCE D'UNE  
NOUVELLE MÉTHODE DE GRADIENT CONJUGUÉ

---

**Problème:** Le minimum de la fonction  $f(x, y) = (x - 2)^4 + (x - 2y)^2$  correspondant au point du coordonn à  $(2, 1)$

Le gradient de cette fonction ce calcul de la manière suivante :

$$\frac{\partial f(x, y)}{\partial x} = 4(x - 2)^3 + 2(x - 2y)$$

$$\frac{\partial f(x, y)}{\partial y} = -4(x - 2y)$$

La norme du gradient ce calcul de la manière suivante :

$$\|g\| = \sqrt{g_x^2 + g_y^2}$$

$g_x$  et  $g_y$  représentant la composante en  $x$  et en  $y$  du gradient  $g$

**Méthode du gradient à pas fixe**

**Remarque 4.2** Tableau 4 : résultats numériques pour la fonction  $f(x, y)$

point initiale $x_0$	le pas	NI	CPU time	le min	$\ g\ $
$(-1.50; -0.0175)$	0.01	3674	9.0609	$(1.934; 0.96)$	$9.98 * 10^{-4}$
$(-1.40; -4.45)$	0.01	3686	9.0617	$(1.946; 0.9673)$	$9.99 * 10^{-4}$
$(-1.65; -0.017)$	0.07	échoué	0.01756	échoué	

Dans le tableau 4, nous notons que la méthode ne converge pas si le pas est trop grand comme dans le troisième cas. Généralement lorsque le pas est fixée, nous avons besoin d'un grand nombre d'itérations, c'est l'inconvénient de cette méthode

**Méthode du gradient conjugué** Le programme Matlab pour la méthode du gradient conjugué trouvé à [14]

Résultats numériques pour la fonction :  $f(x, y) = (x - 2)^4 + (x - 2y)$

$x_0 = (-1, 5; -0, 5)$

La condition d'arrêt est  $\|g_k\| < 10^{-6}$

Tableau 5 : Comparaison la performance de la méthode de WYL avec d'autre méthode des gradient conjugué

	WYL	FR	PRP	HS	DY	CD
NI	9	36	16	20	36	36
CPU	0.32	1.3864	0.58	0.86	1.43	1.43
Xoptimal	$(1.99; 1)$	$(1.96; 0.98)$	$(1.9; 0.99)$	$(1.93; 0.97)$	$(1.95; 0.98)$	$(1.95; 0.98)$
$\ g\ $	$2.5 * 10^{-4}$	$9.54 * 10^{-4}$	$3.04 * 10^{-4}$	$8.77 * 10^{-4}$	$9.8 * 10^{-4}$	$9.8 * 10^{-4}$

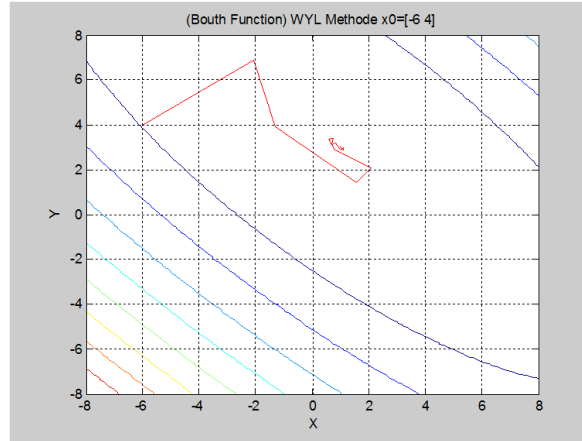
La méthode WYL fonctionné mieux que d'autre méthode et converge rapide

vers la solution optimale. Moins d'itération et moins de temps.

Il est clair que la méthode de WYL est un peut mieux que les autre méthode Résultats numériques pour la fonction  $f(x, y) = (x + 2y - 7)^2 +$

CHAPITRE 4. COMPARAISON DES PERFORMANCE D'UNE  
NOUVELLE MÉTHODE DE GRADIENT CONJUGUÉ

---



$(2x + y - 5)^2$  ( Bouth function) avec la méthode du gradient conjugué nous avons utilisé le

code Matlab [30]

$x_0 = (-6, 4)$  la condition d'arrêt est  $\|g_k\| < 10^{-6}$

Tableau 6 : Comparaison la performance de la méthode de *WYL* avec d'autres méthodes du gradient conjugué

	<i>WYL</i>	<i>FR</i>	<i>PRP</i>	<i>HS</i>	<i>ZDY</i>	<i>CD</i>	<i>LS</i>
<i>NI</i>	41	99	49	échoué	échoué	53	23
<i>CPU</i>	0.1429	0.2448	0.3202	1.0045	échoué	2.1136	0.9623
<i>Xoptimal</i>	(1; 3)	(1; 3)	(1; 3)			(1; 3)	(1; 3)
$\ g\ $	$1.1 * 10^{-7}$	$2.15 * 10^{-7}$	$8.042 * 10^{-8}$			$3.48 * 10^{-7}$	$2.79 * 10^{-7}$

Dans le tableau 6, on note que la méthode *wyl* est plus rapide que les autres méthodes

**Conclusion 4.2** Dans ce travail, nous avons étudié une nouvelle méthode (*WYL*) du gradient conjugué qui garantit la condition suffisante de descente et nous avons prouvé qu'elle converge globalement vers la solution optimale sous la recherche linéaire inexacte. Les résultats préliminaires numériques montrent que la performance de la méthode *WYL*

*CHAPITRE 4. COMPARAISON DES PERFORMANCE D'UNE  
NOUVELLE MÉTHODE DE GRADIENT CONJUGUÉ*

---

# Bibliographie

- [1] M.R. Hestenes, E. Stiefel, Method of conjugate gradient for solving linear equations, *J. Res. Nat. Bur. Stand.* 49 (1952) 409-436..
- [2] R. Fletcher, Reeves, Function minimization by conjugate gradients, *Compute. J.* 7 (1964) 149-154
- [3] B.T. Polyak (1969), The conjugate gradient method in extremem problems, *Comput. Math. Math. Phys.*, 9, pp. 94-112...
- [4] E. Polak and G. Ribière (1969), Note sur la convergence de directions conjuguées, *Rev. Française Informat. Recherche Operationelle*, 3e année, 16, pp. 35-43.
- [5] R. Fletcher (1987), *Practical methods of optimization*, John Wiley&Sons, Chichester
- [6] Y. Liu, C. Storey, Efficient generalized conjugate gradient algorithms, part 1 : theory, *J. Optim. Theory Appl.* 69 (1992) 129-137.
- [7] Y.H. Dai and Y. Yuan (1999), A non linear conjugate gradient with a strong global convergence property, *SIAM J. Optimization*, Vol. 10(1), pp.177-182.
- [8] Lin Suihua, Yao Shengwei, A new conjugate gradient method of modified LS formula, Department of Mathematics and Information Science, Guangxi University, 2006.
- [9] L. Armijo (1966), Minimization of function having lipschitz continuous first partial derivatives, *Pacific Journal of Mathematics*, Vol. 16(1), pp.1-3.
- [10] M.J.D. Powell (1986), Convergence properties of algorithms for nonlinear optimization, *SIAM rev.*, 28, pp. 487-500
- [11] M. Al-Baali (1985), Descent property and global convergence of the Fletcher-Reeves method with inexact line search. *IMA J. Num. Anal.*, Vol. 5, pp.121-124.
- [12] D. Touati-Ahmed and C. Storey (1990), Efficient hybrid conjugate gradient techniques, *JOTA*, 64, pp. 379-397.

- [13] G. Zoutendijk, Nonlinear programming computational methods, in : J. Abadie (Ed.), Integer and Nonlinear Programming, North-Holland, Amsterdam, 1970, pp. 37–86
- [14] :Mickaél S Mémoire de mathématique p :9-11, Université Paris Sud
- [15] L. Grippo, S. Lucidi, A globally convergent version of the Polak–Ribière gradient method, *Math. Prog.* 78 (1997) 375–391
- [16] Wei et al., The convergence properties of some conjugate gradient methods, *Appl. Math. Comput.* 183 (2006) 1341–1350.
- [17] The proof of the sufficient descent condition of the Wei–Yao–Liu conjugate gradient method under the strong Wolfe–Powell line search, *Appl. Math. Comput.* doi :doi :10.1016/j.amc.2006.12.006, 2007
- [18] Lin Suihua, Yao Shengwei, A new conjugate gradient method of modified LS formula, Department of Mathematics and Information Science, Guangxi University, 2006.
- [19] Shengwei, Lin Suihua, A new conjugate gradient method combined HS and DY formulas, Department of Mathematics and Information Science, Guangxi University, 2